



CERN

European Organization for Nuclear Research  
Organisation Européenne pour la Recherche Nucléaire

# Fisica delle particelle oggi

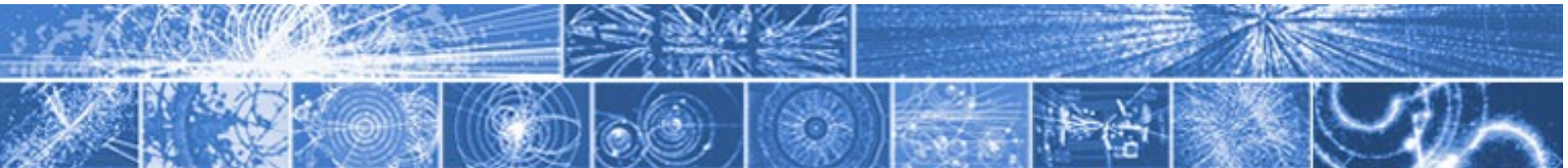
## Il Modello Standard

## and Beyond

- Bosone di Higgs
- SuperSimmetria
- Astroparticle & Materia Oscura

Marco CIRELLI [CNRS LPTHE Jussieu & Sorbonne]

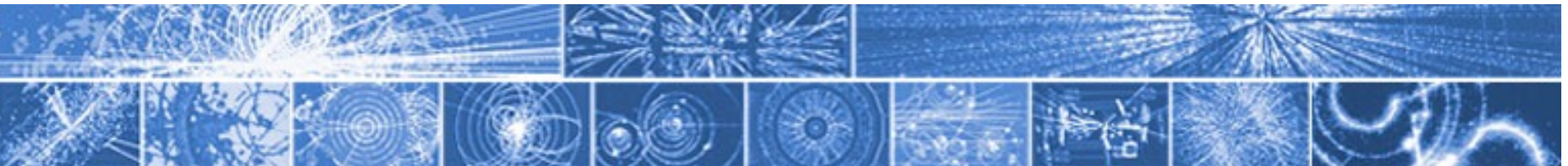
**Mini-intro:**  
- livello variabile  
- non storico  
- about MC



## Cosa si fa al CERN

### Ricerca fondamentale in Fisica delle Particelle

- i costituenti elementari della materia
- le forze fondamentali che li governano
- l'origine, il contenuto e la struttura dell'Universo



## Come risolvere questi problemi? o... Come si fanno le scoperte?

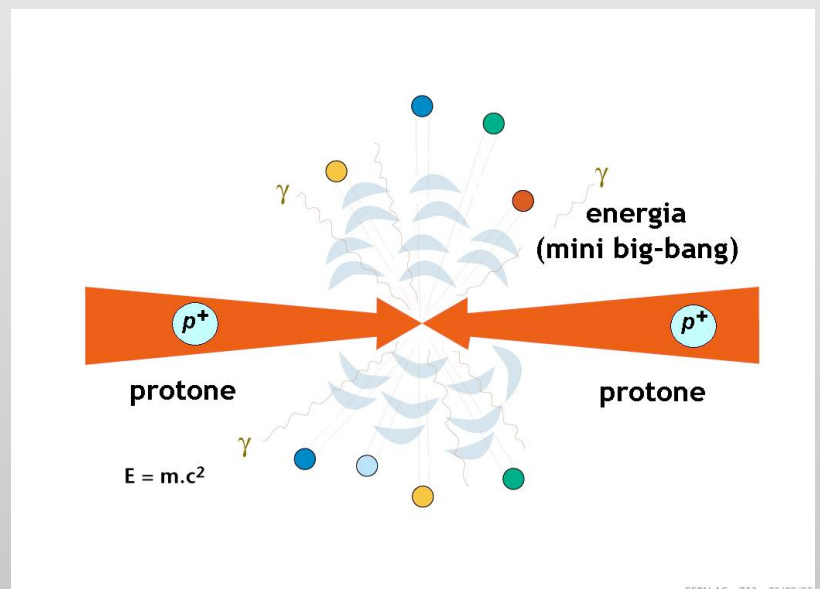
Accelerare le particelle elementari (*protoni, elettroni...*)

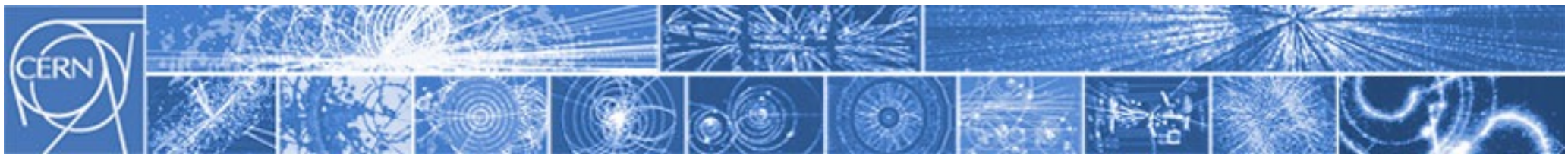
fino a energie elevatissime (14 TeV)

e portarle a collidere.  $E=mc^2$

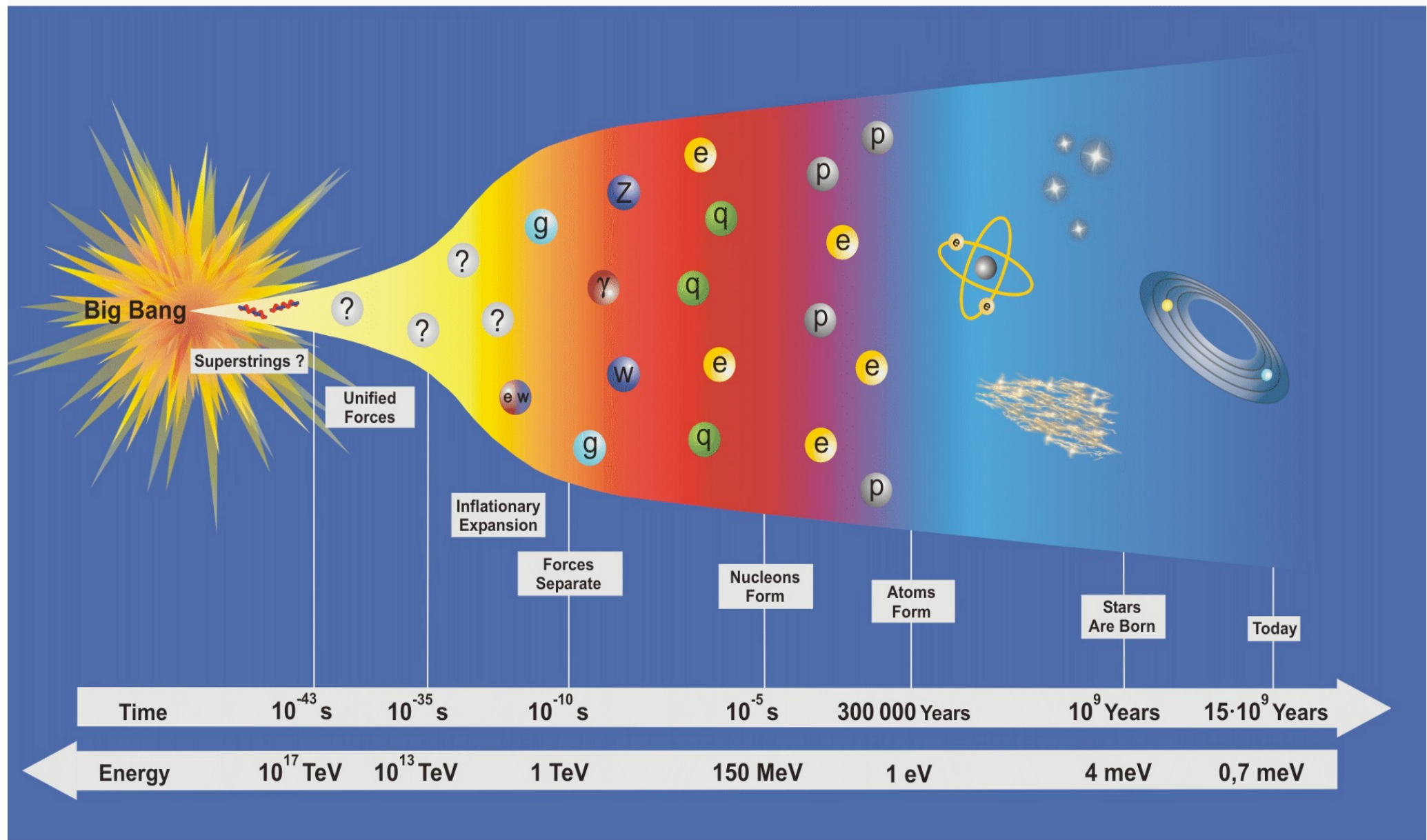
Analizzare accuratamente i prodotti

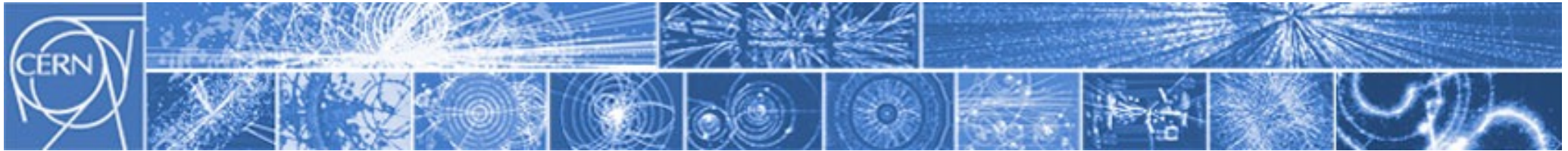
per scoprire nuove particelle,  
nuove forze,  
'nuova fisica'...





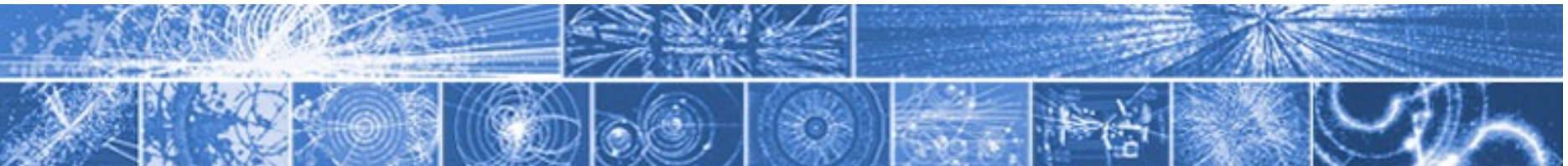
## Ripercorrere all'indietro la storia dell'Universo





# Modello Standard

(della fisica delle particelle elementari)



Il Modello Standard è la costruzione ('scoperta') fondamentale della fisica delle particelle, nella seconda metà del XX secolo.

**XIX secolo** elettromagnetismo

**1932** teoria di Fermi del decadimento beta - interazioni deboli

**1960's** unificazione em-debole: teoria ElectroWeak  
(Glashow, Weinberg, Salam)

**1981** scoperta bosoni W e Z (Rubbia)

**1970's** teoria della QCD - interazioni nucleari forti  
(Gross, Politzer, Wilczek)

1936  $\mu$

1956  $\nu_e$

1962  $\nu_\mu$

1974  $\tau$

2000  $\nu_\tau$

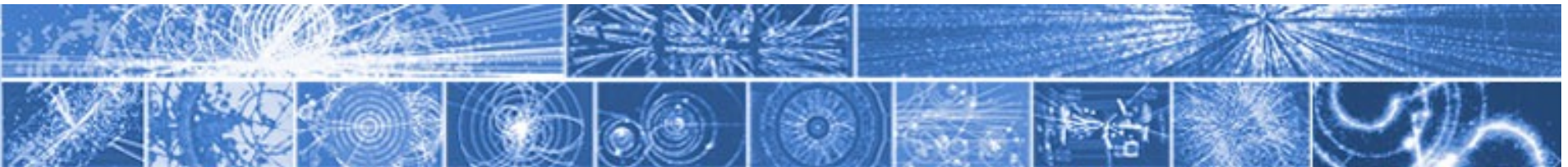
1968  $s$  quark

1974  $c$  quark

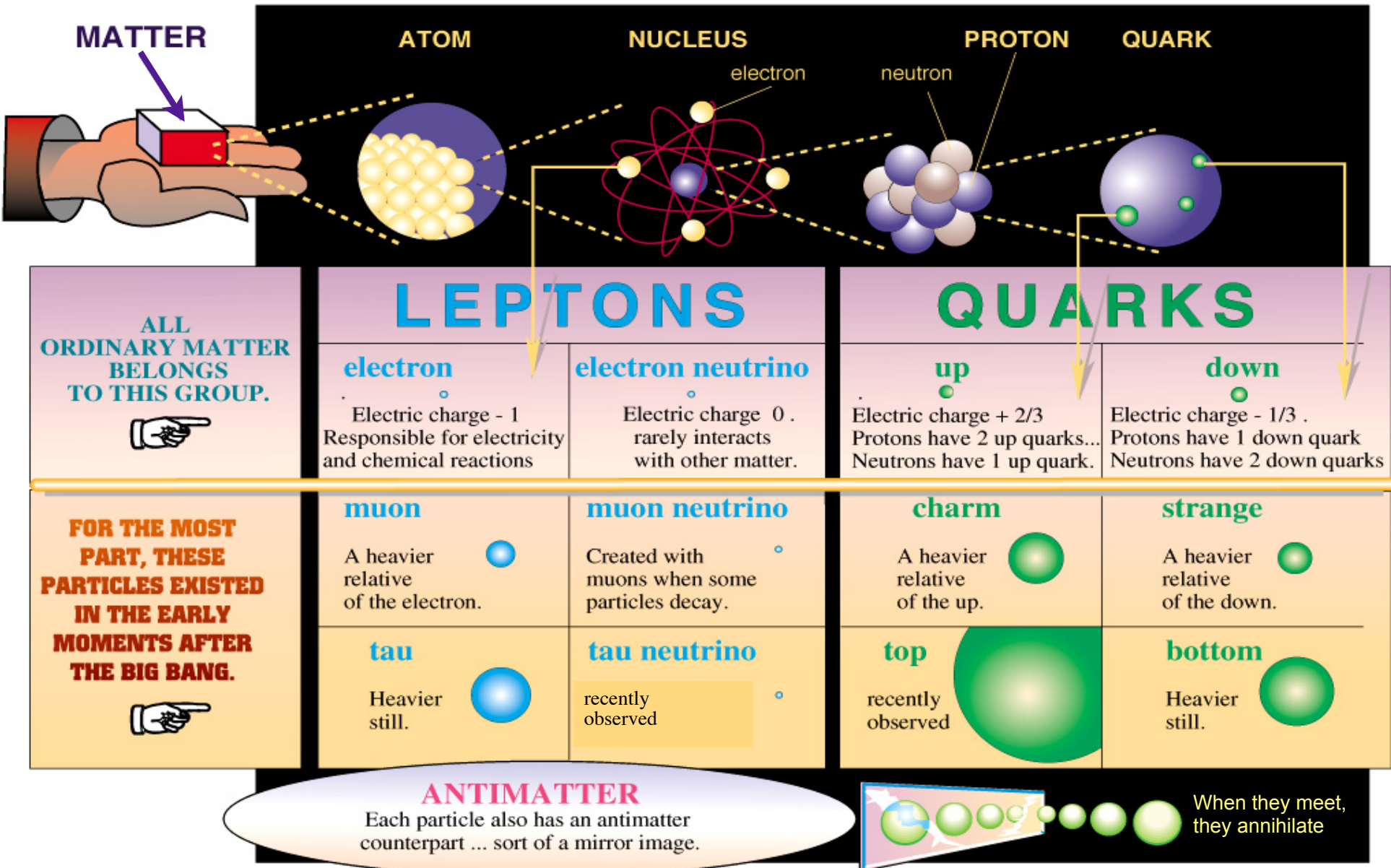
1977  $b$  quark

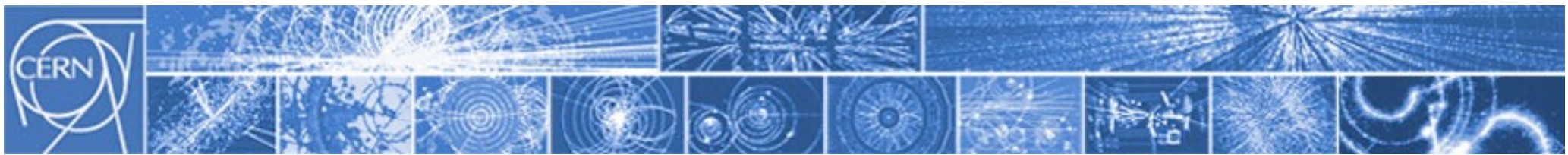
1995  $t$  quark

2012 higgs

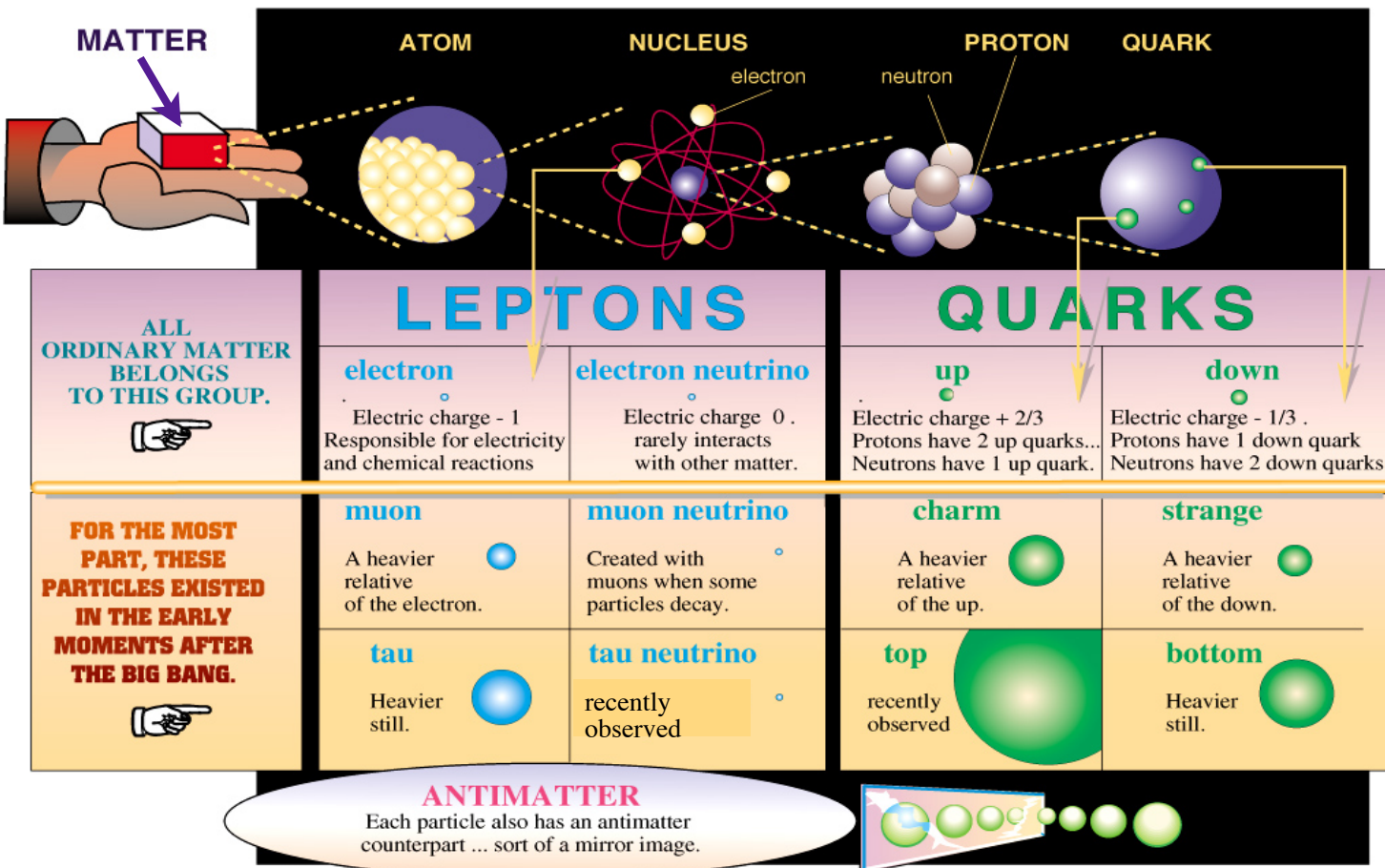


## STANDARD MODEL





## STANDARD MODEL



from Time magazine

## FORCES

### Electromagnetic

Photon



Atoms  
Light  
Chemistry  
Electronics

### Weak

Bosons (W,Z)



Neutron decay  
Beta radioactivity  
Neutrino interactions  
Burning of the sun

### Strong

Gluons (8)



Quarks



Mesons  
Baryons



Nuclei

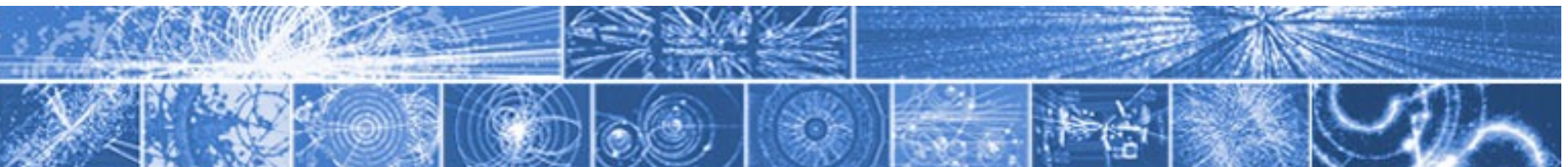
### Gravitational

Graviton ?

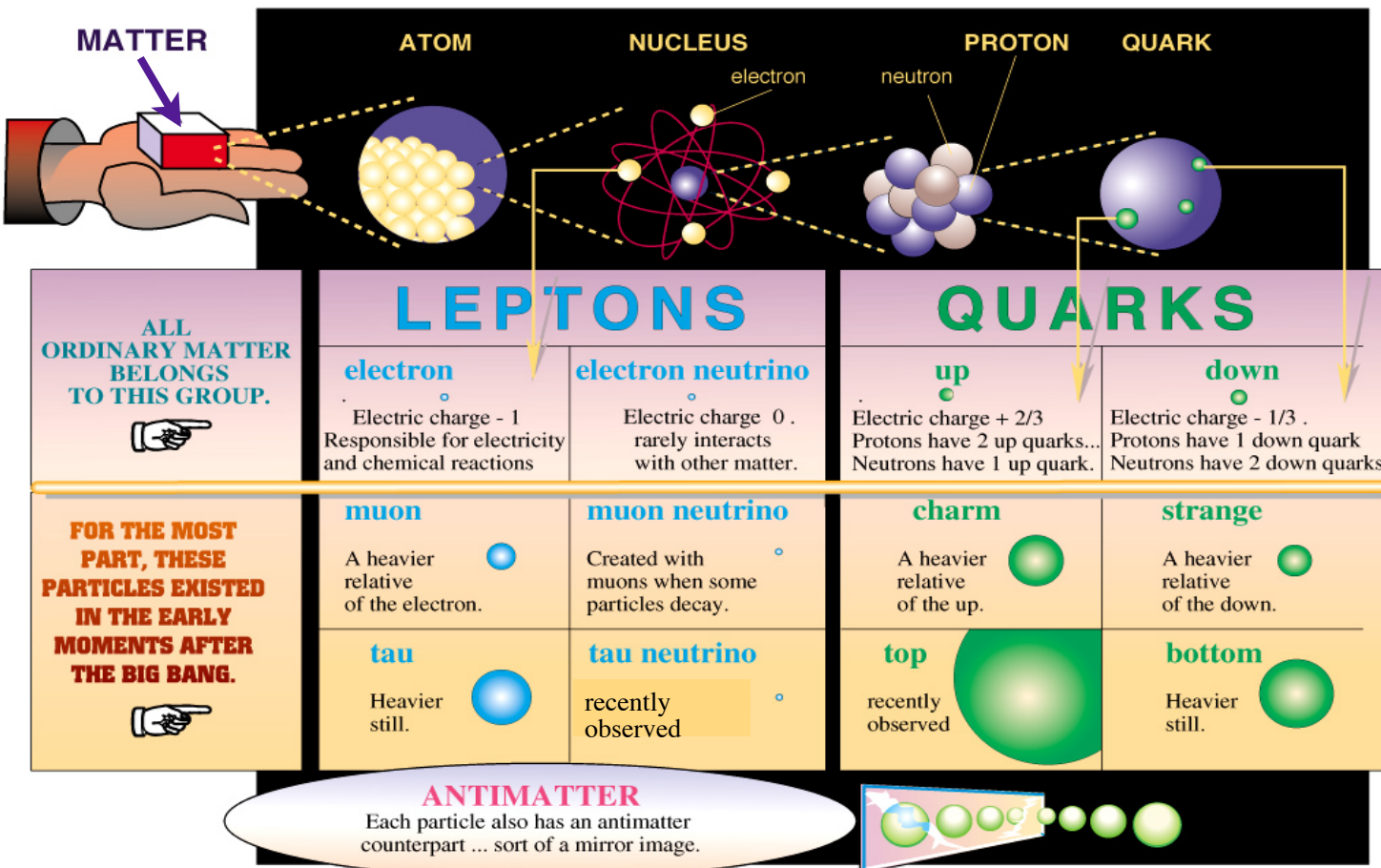


Solar system  
Galaxies  
Black holes





## STANDARD MODEL



## FORCES

### Electromagnetic

Photon



Atoms  
Light  
Chemistry  
Electronics

### Weak

Bosons (W,Z)



Neutron decay  
Beta radioactivity  
Neutrino interactions  
Burning of the sun

### Strong

Gluons (8)



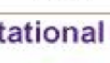
Quarks



Mesons



Baryons



### Gravitational

Graviton ?

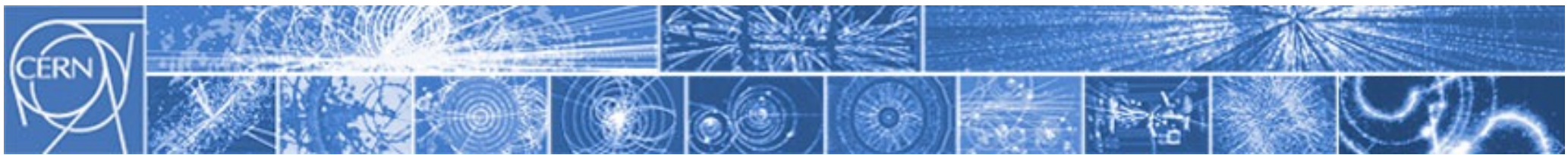


Solar system  
Galaxies  
Black holes



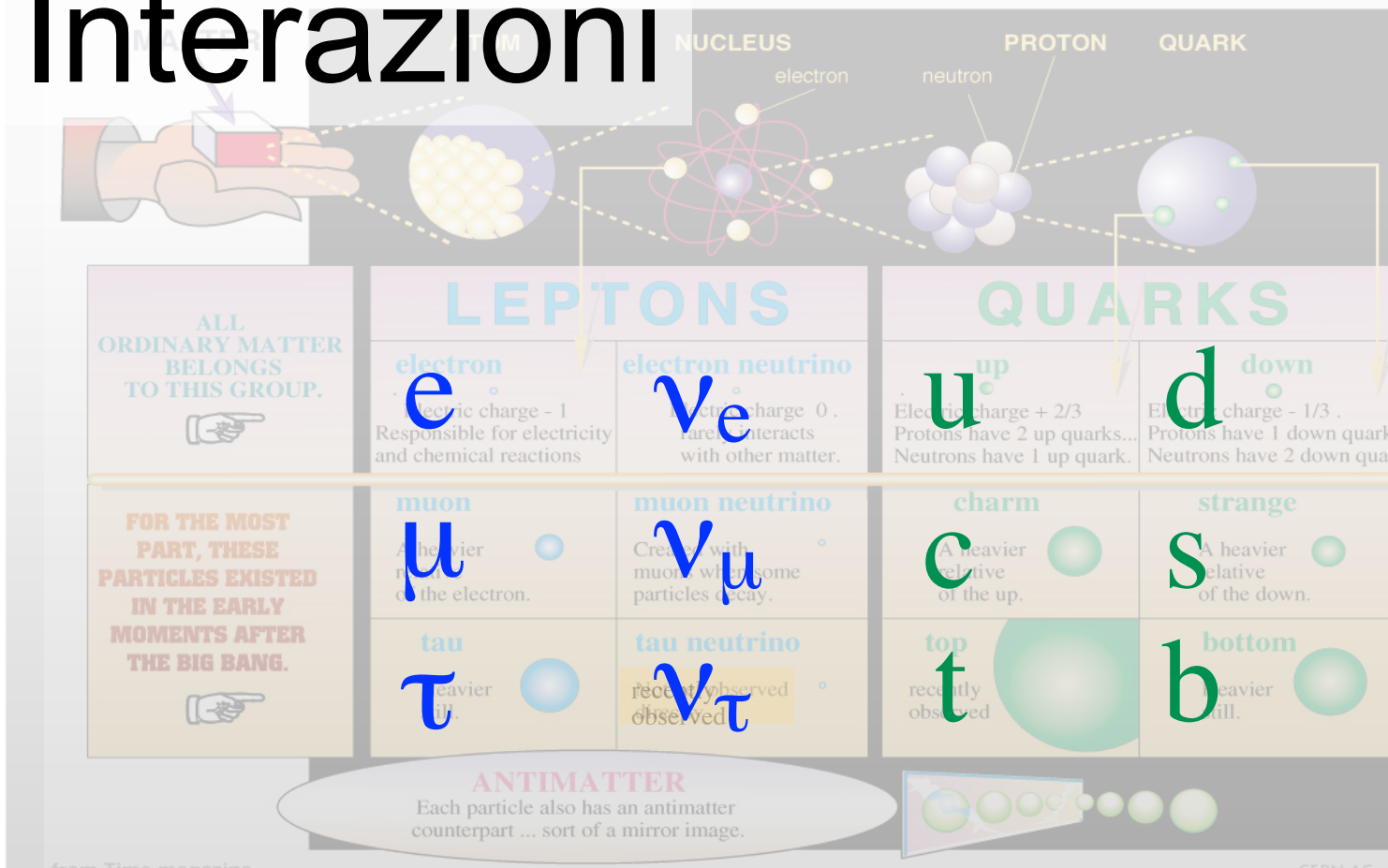
Higgs boson

h

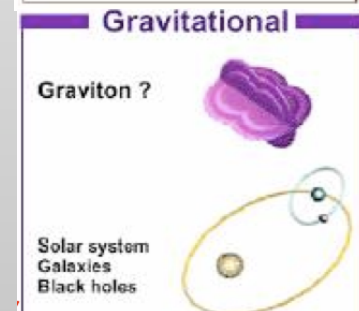
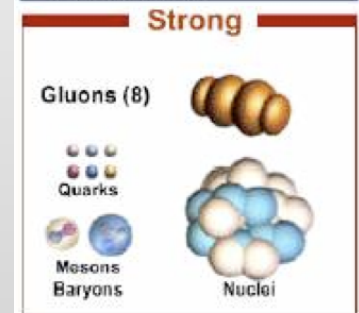
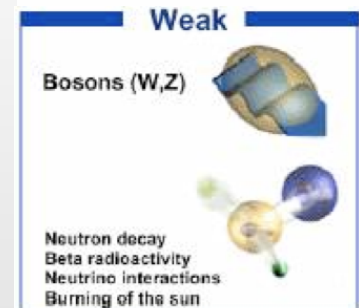
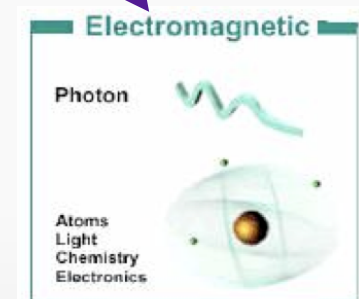


STANDARD MODEL

# Interazioni

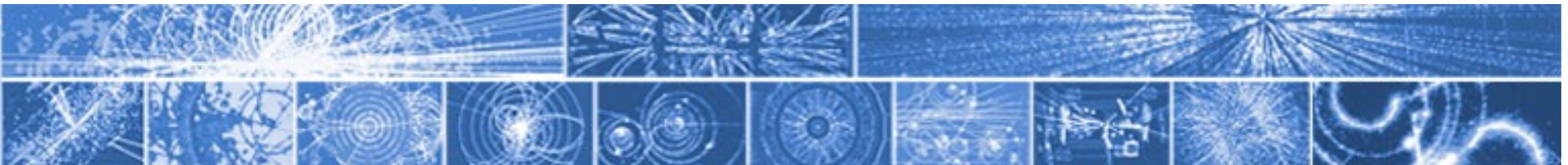


## FORCES



Higgs boson

h



STANDARD MODEL

# Interazioni

ALL ORDINARY MATTER BELONGS TO THIS GROUP.

FOR THE MOST PART, THESE PARTICLES EXISTED IN THE EARLY MOMENTS AFTER THE BIG BANG.

ANTIMATTER Each particle also has an antimatter counterpart ... sort of a mirror image.

LEPTONS		QUARKS	
e <sup>-</sup>	$\nu_e$	$u^{\text{up}}$	d <sup>down</sup>
electron	electron neutrino	Electric charge + 2/3 Protons have 2 up quarks... Neutrons have 1 up quark.	Electric charge - 1/3 Protons have 1 down quark Neutrons have 2 down quarks
muon	$\nu_\mu$	charm	strange
A heavier relative of the electron.	Creates with muon when some particles decay.	A heavier relative of the up.	A heavier relative of the down.
tau	$\nu_\tau$	top	bottom
A heavier relative of the tau.	recently observed	recently observed	heavier still.

from Time magazine

CERN AC\_EI1-7

## FORCES

### Electromagnetic

Photon

Atoms Light Chemistry Electronics

### Weak

Bosons (W,Z)

Neutron decay Beta radioactivity Neutrino interactions Burning of the sun

### Strong

Gluons (8)

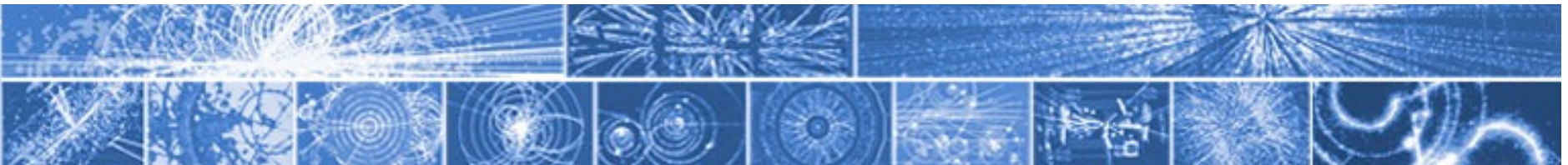
Quarks Mesons Baryons Nuclei

### Gravitational

Graviton ?

Solar system Galaxies Black holes





STANDARD MODEL

# Interazioni

ALL ORDINARY MATTER BELONGS TO THIS GROUP.

FOR THE MOST PART, THESE PARTICLES EXISTED IN THE EARLY MOMENTS AFTER THE BIG BANG.

ANTIMATTER

Each particle also has an antimatter counterpart ... sort of a mirror image.

from Time magazine

LEPTONS		QUARKS	
e	electron neutrino	u <sup>up</sup>	d <sup>down</sup>
muon	muon neutrino	charm	strange
tau	tau neutrino	t <sup>top</sup>	b <sup>bottom</sup>

CERN AC - E11-7

## FORCES

### Electromagnetic

Photon

Atoms  
Light  
Chemistry  
Electronics

### Weak

Bosons (W,Z)

Neutron decay  
Beta radioactivity  
Neutrino interactions  
Burning of the sun

### Strong

Gluons (8)

Quarks  
Mesons  
Baryons  
Nuclei

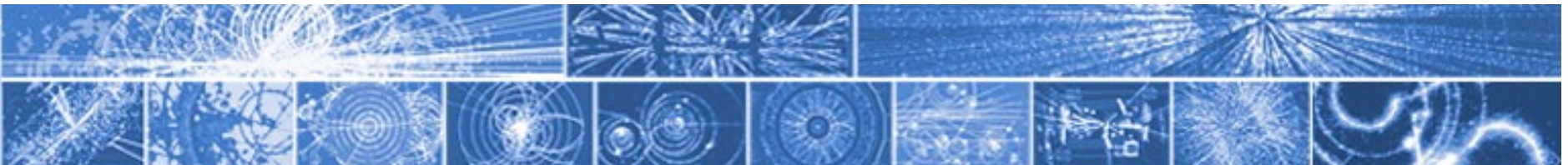
### Gravitational

Graviton ?

Solar system  
Galaxies  
Black holes

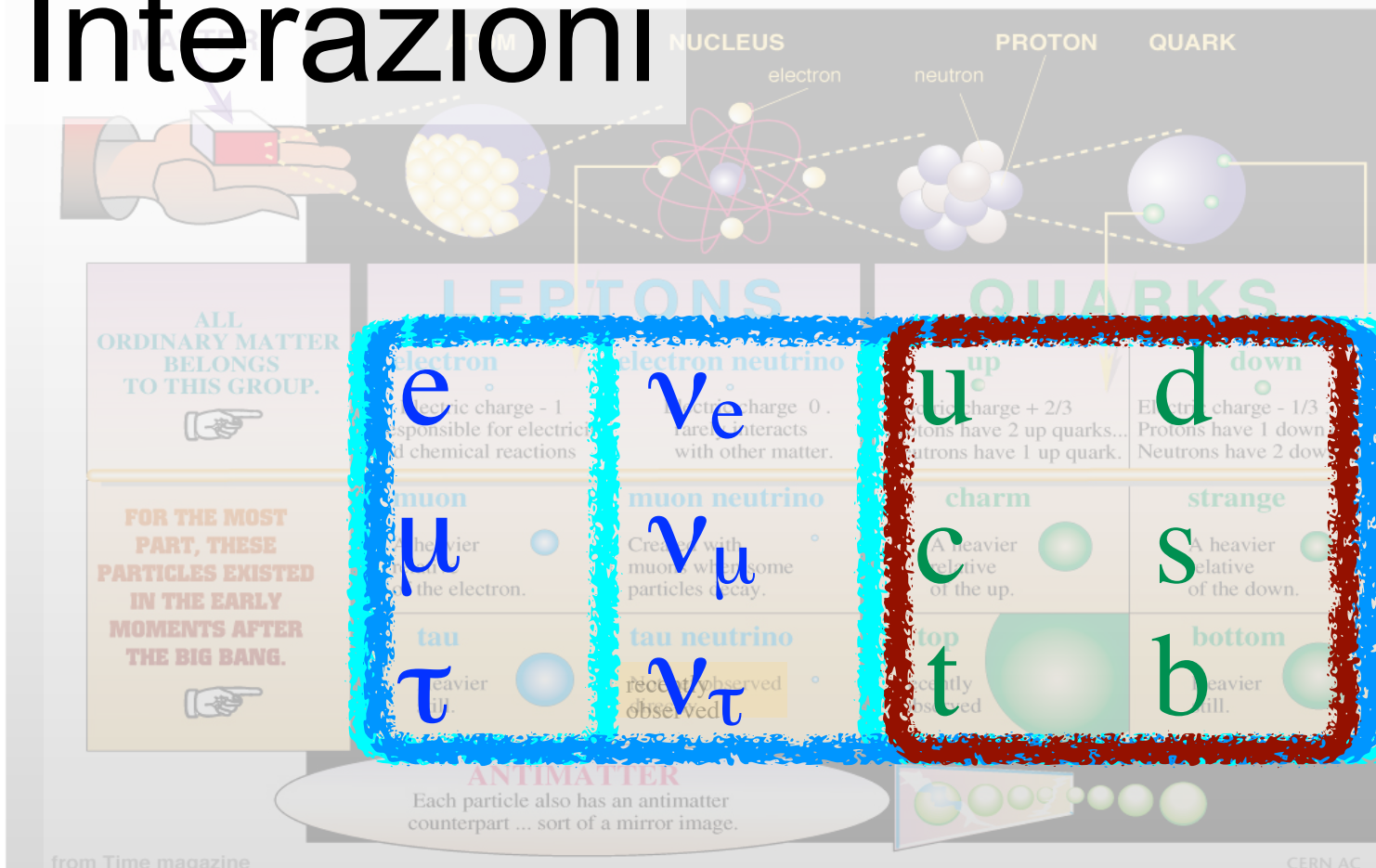
Higgs boson

h

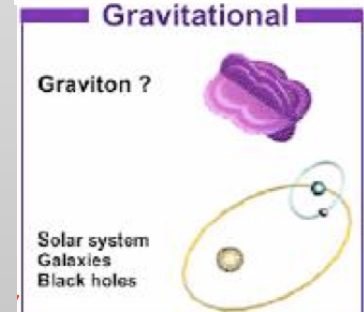
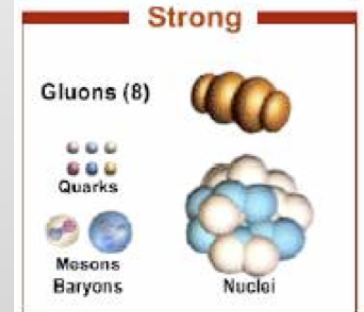
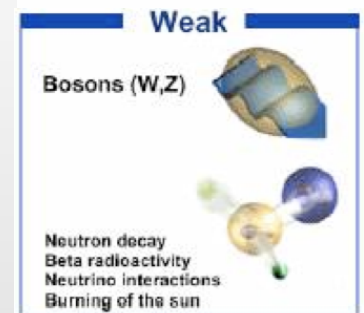
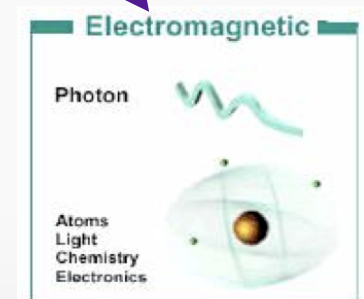


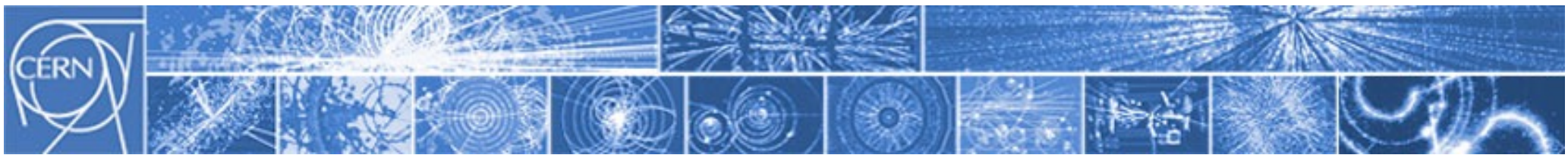
STANDARD MODEL

# Interazioni



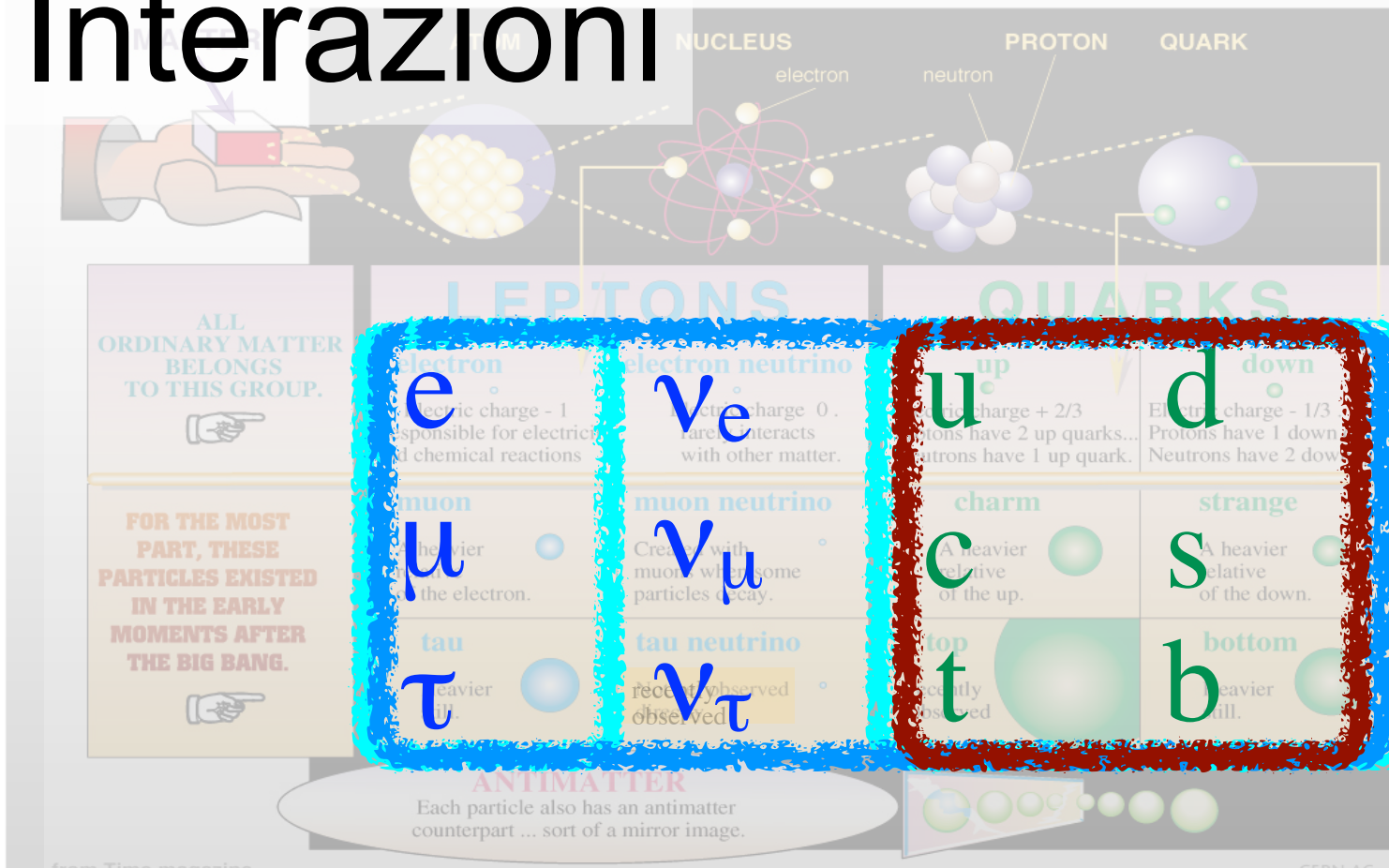
## FORCES



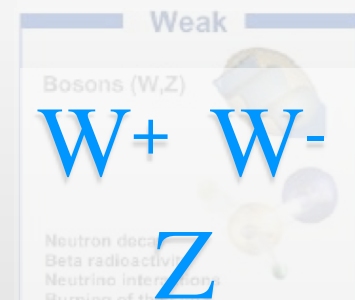
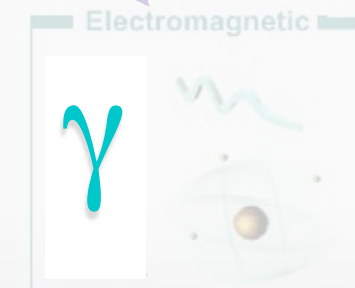


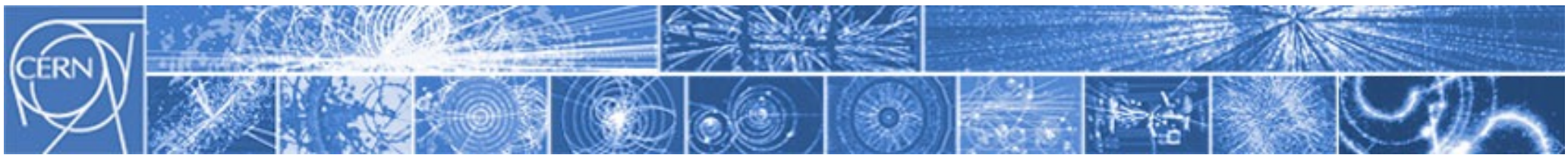
STANDARD MODEL

# Interazioni



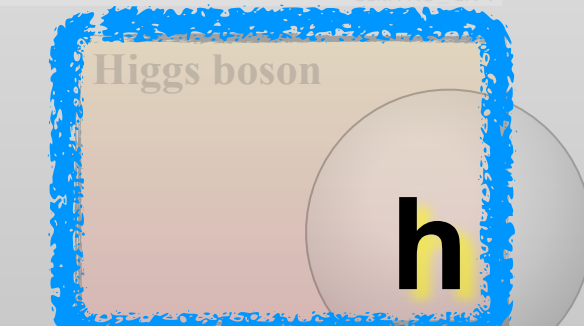
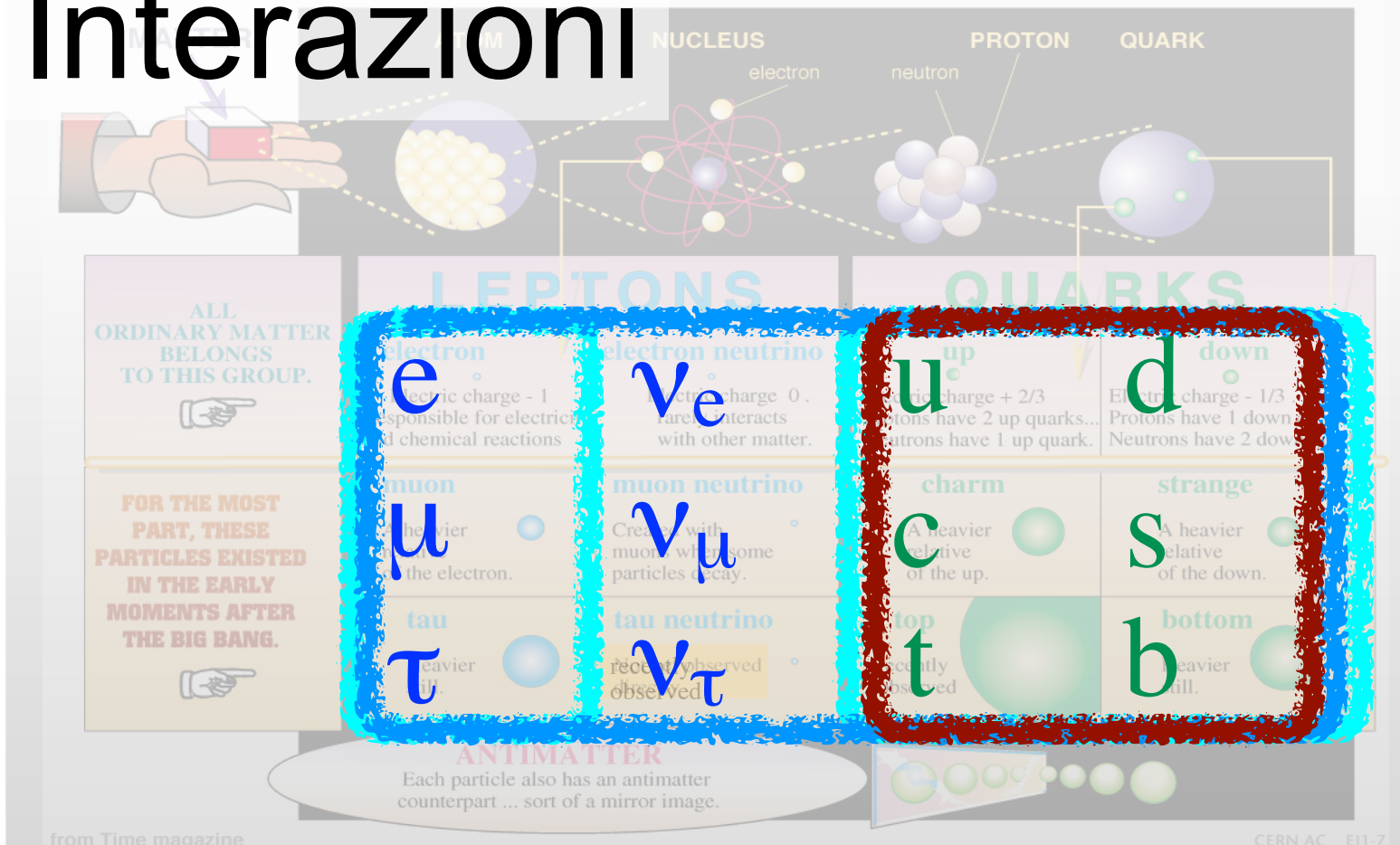
FORCES

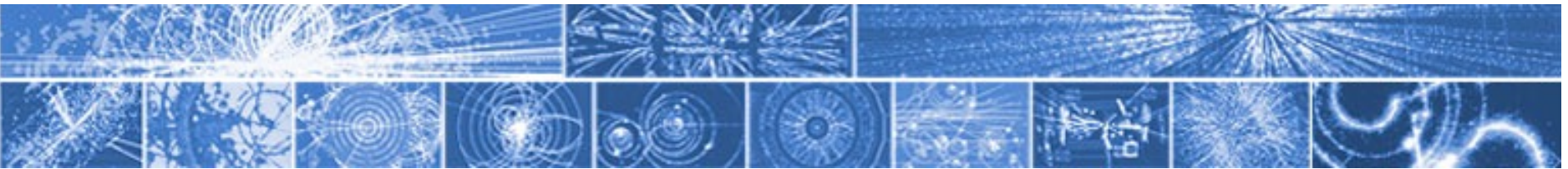




STANDARD MODEL

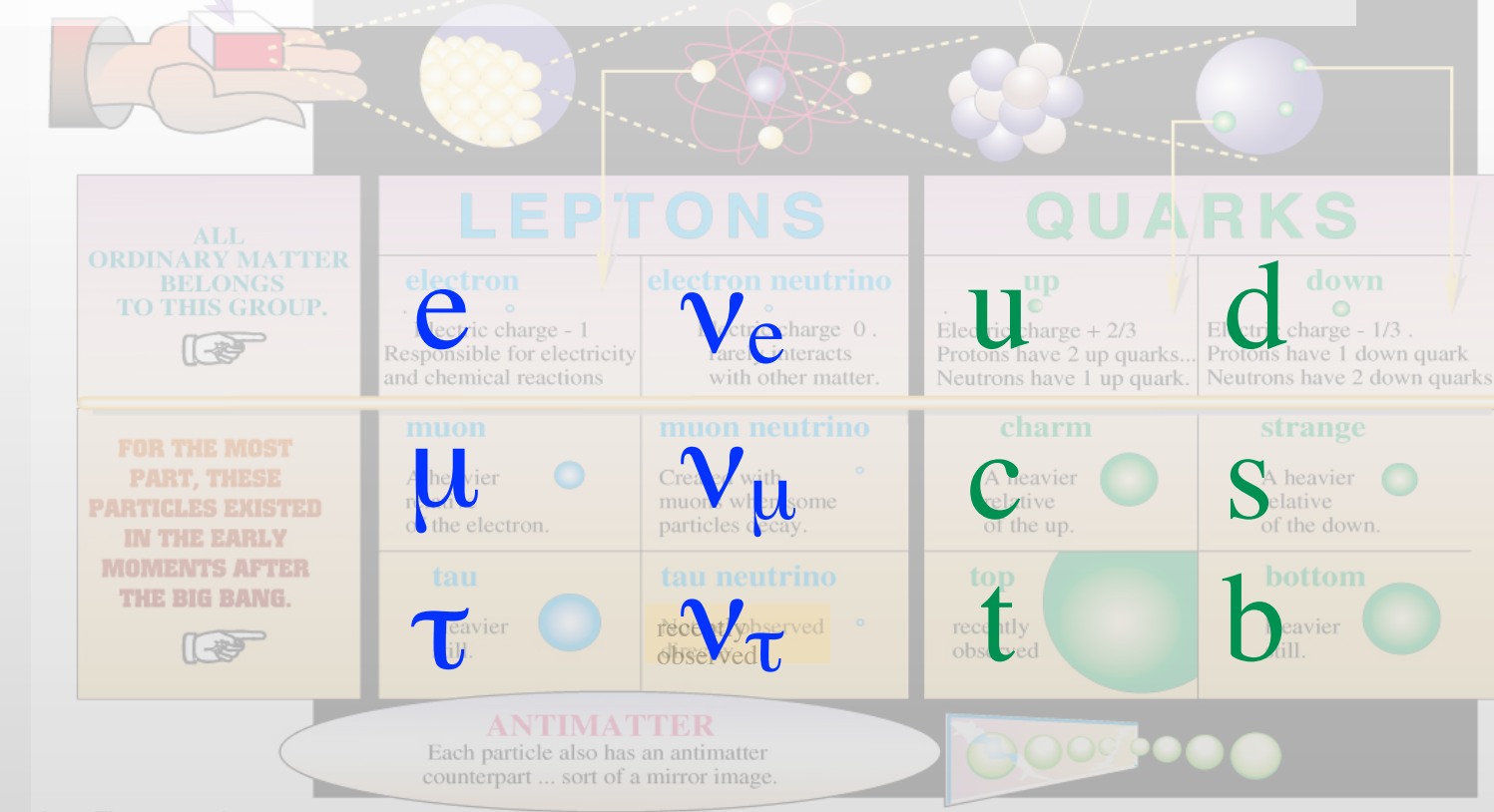
# Interazioni





STANDARD MODEL

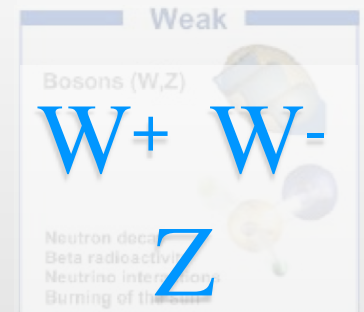
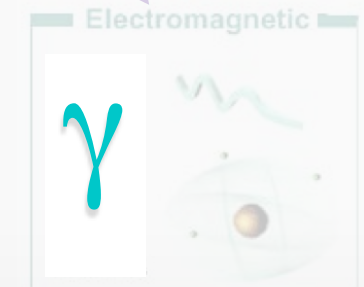
# Interazioni (& simmetrie)

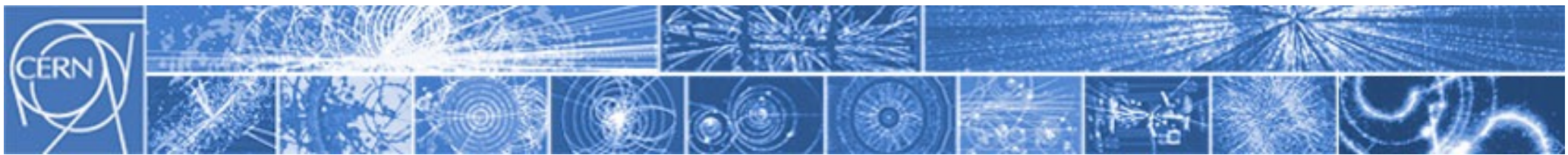


$$\triangleright \text{SU}_c(3) \times \text{SU}_w(2) \times \text{U}_Y(1) \rightarrow \text{SU}_c(3) \times \text{U}_{\text{em}}(1)$$



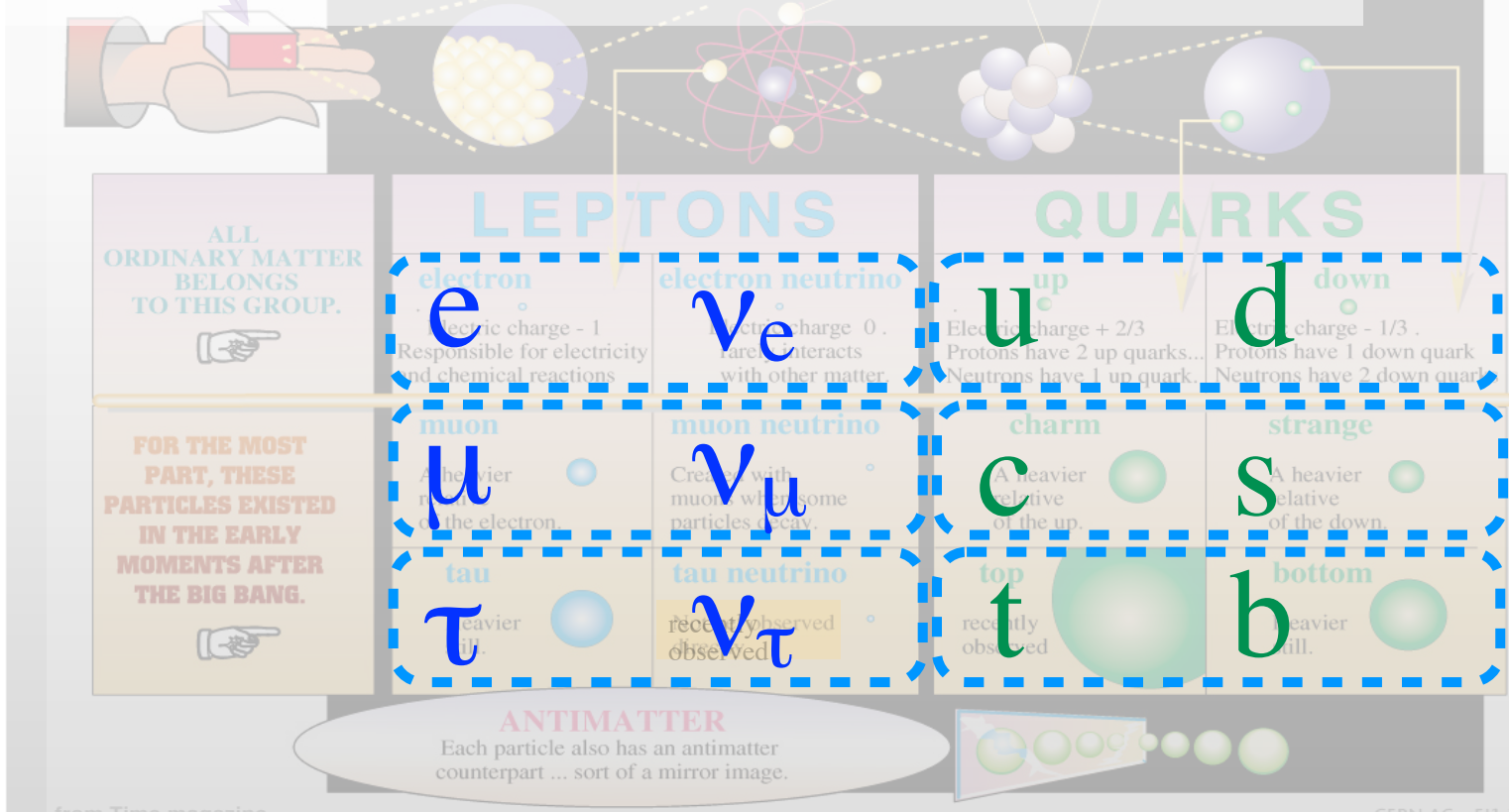
FORCES



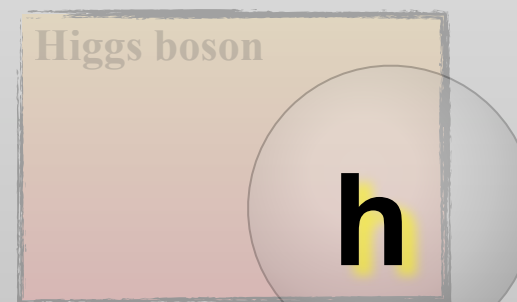


STANDARD MODEL

# Interazioni (& simmetrie)



$$\text{SU}_c(3) \times \text{SU}_w(2) \times \text{U}_Y(1) \rightarrow \text{SU}_c(3) \times \text{U}_{\text{em}}(1)$$



FORCES

Electromagnetic



Weak

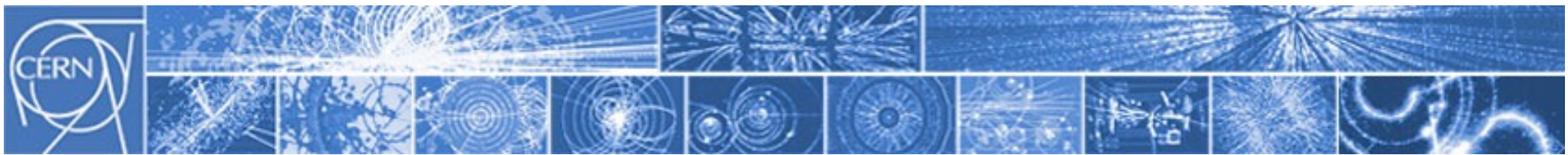


Strong



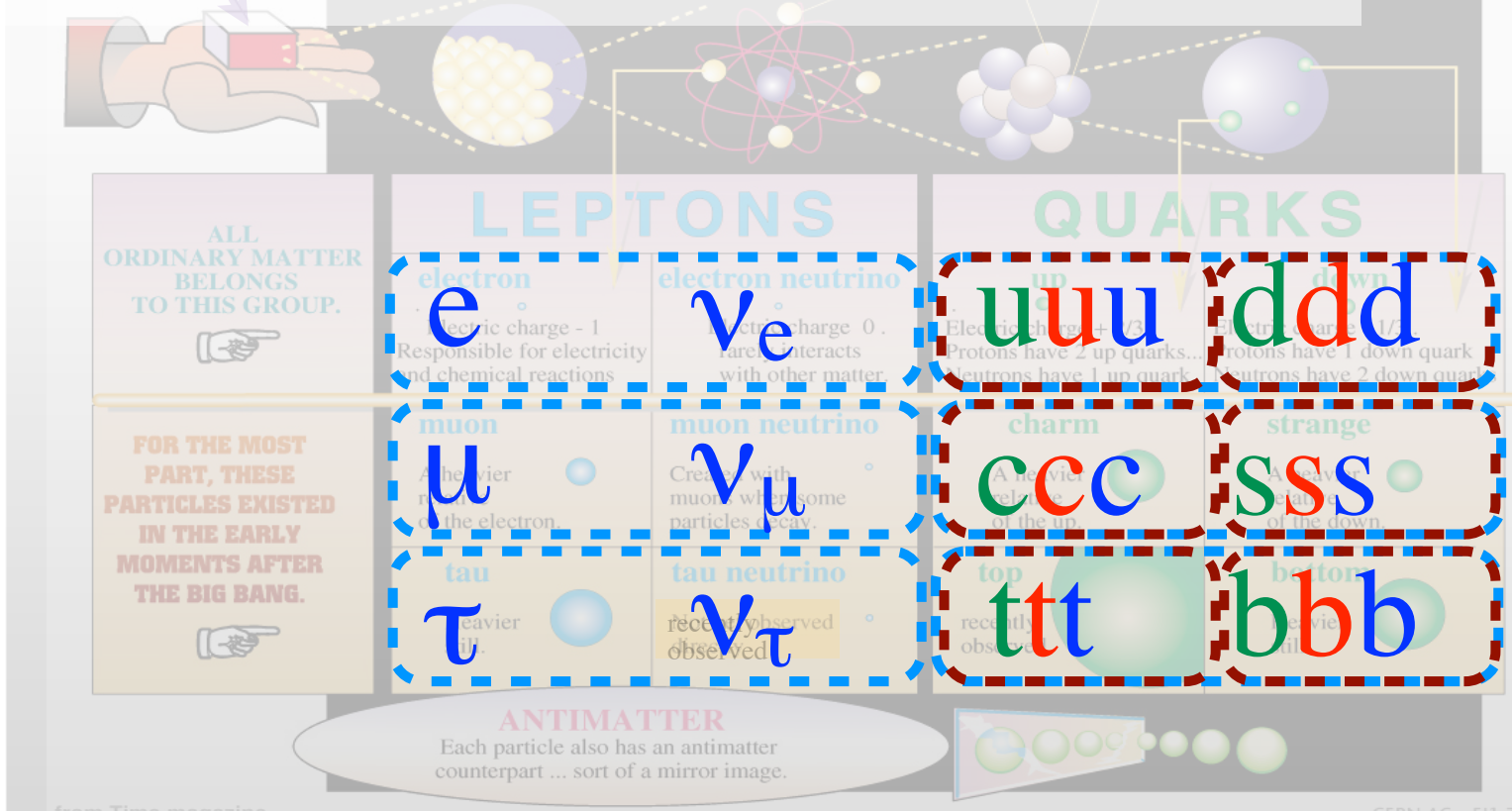
Gravitational





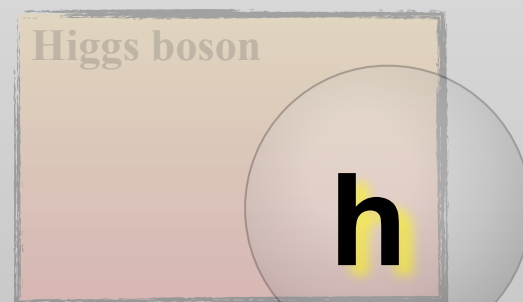
STANDARD MODEL

# Interazioni (& simmetrie)



from Time magazine

$$\triangleright \text{SU}_c(3) \times \text{SU}_w(2) \times \text{U}_Y(1) \rightarrow \text{SU}_c(3) \times \text{U}_{\text{em}}(1)$$



FORCES

Electromagnetic



Weak

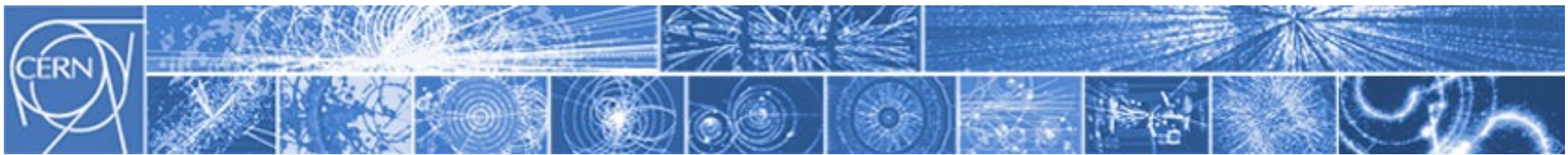


Strong



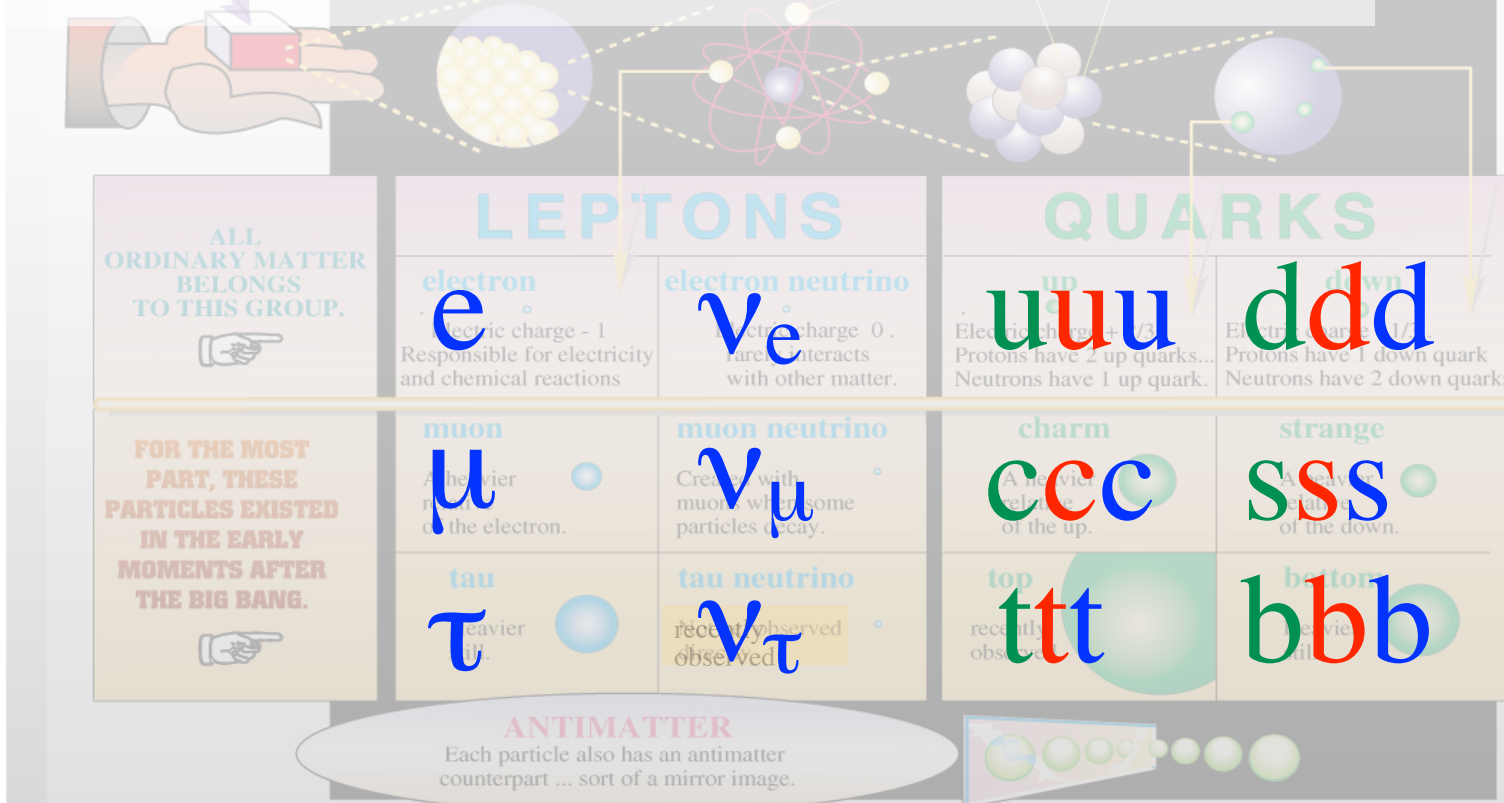
Gravitational



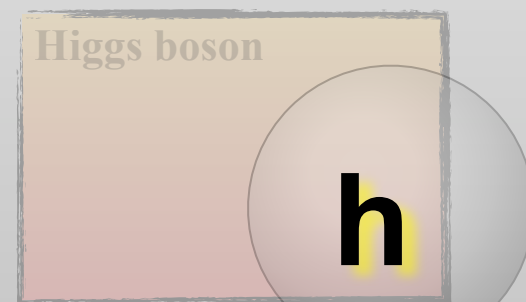


STANDARD MODEL

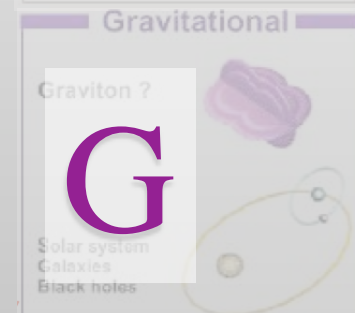
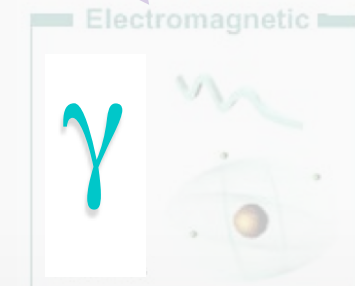
# Interazioni (& simmetrie)

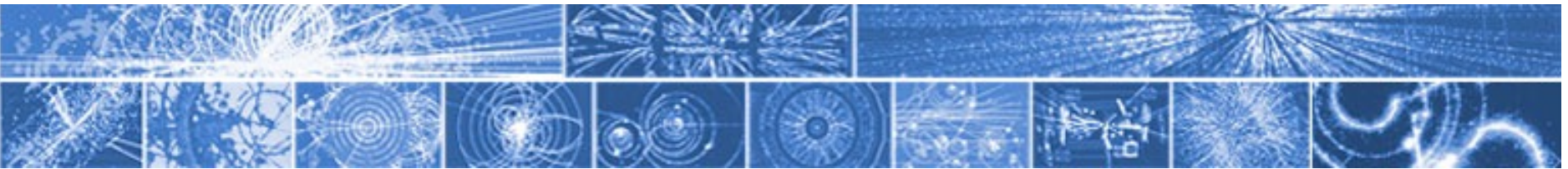


- $SU_c(3) \times SU_w(2) \times U_Y(1) \rightarrow SU_c(3) \times U_{\text{em}}(1)$
- colore e carica elettrica



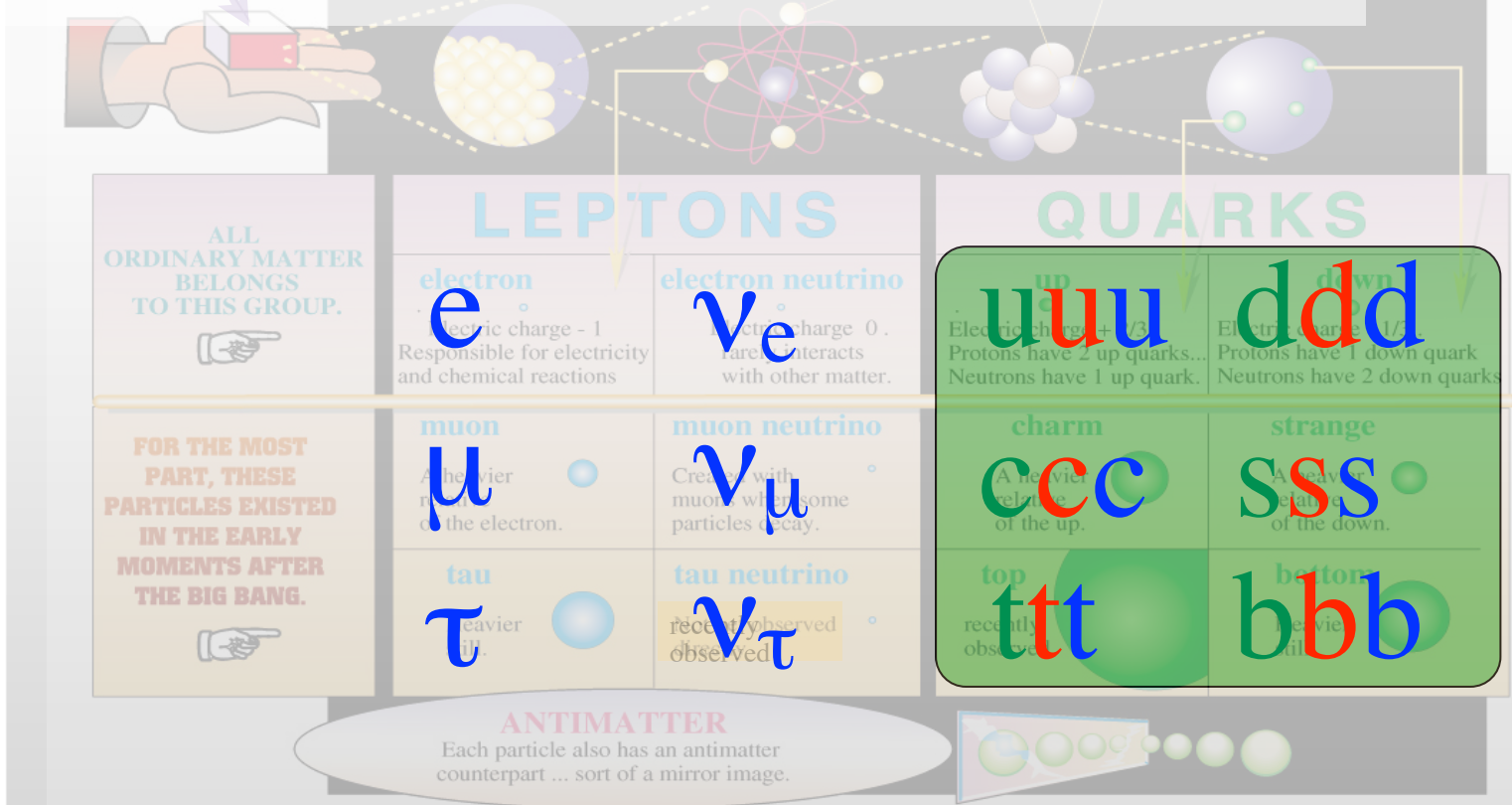
FORCES



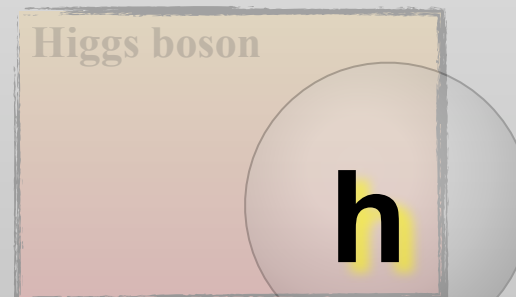


STANDARD MODEL

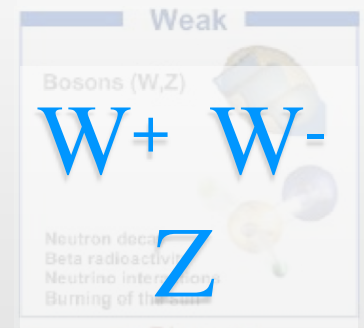
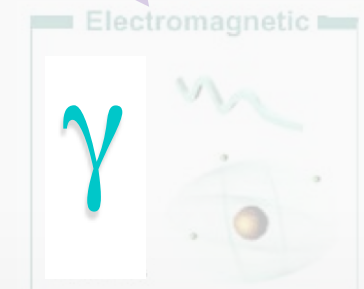
# Interazioni (& simmetrie)

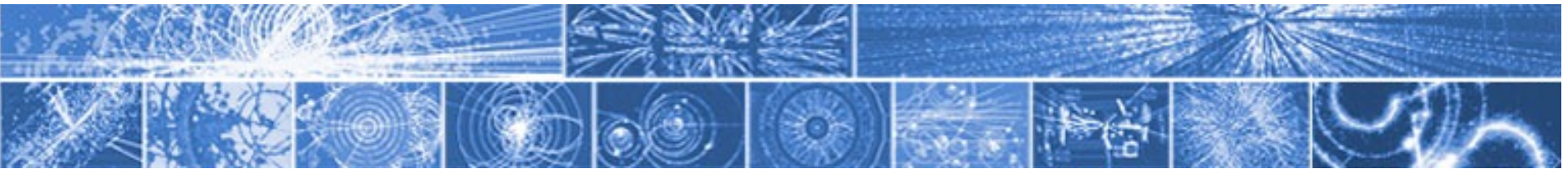


- $SU_c(3) \times SU_w(2) \times U_Y(1) \rightarrow SU_c(3) \times U_{\text{em}}(1)$
- colore e carica elettrica
- sapore barionico totale



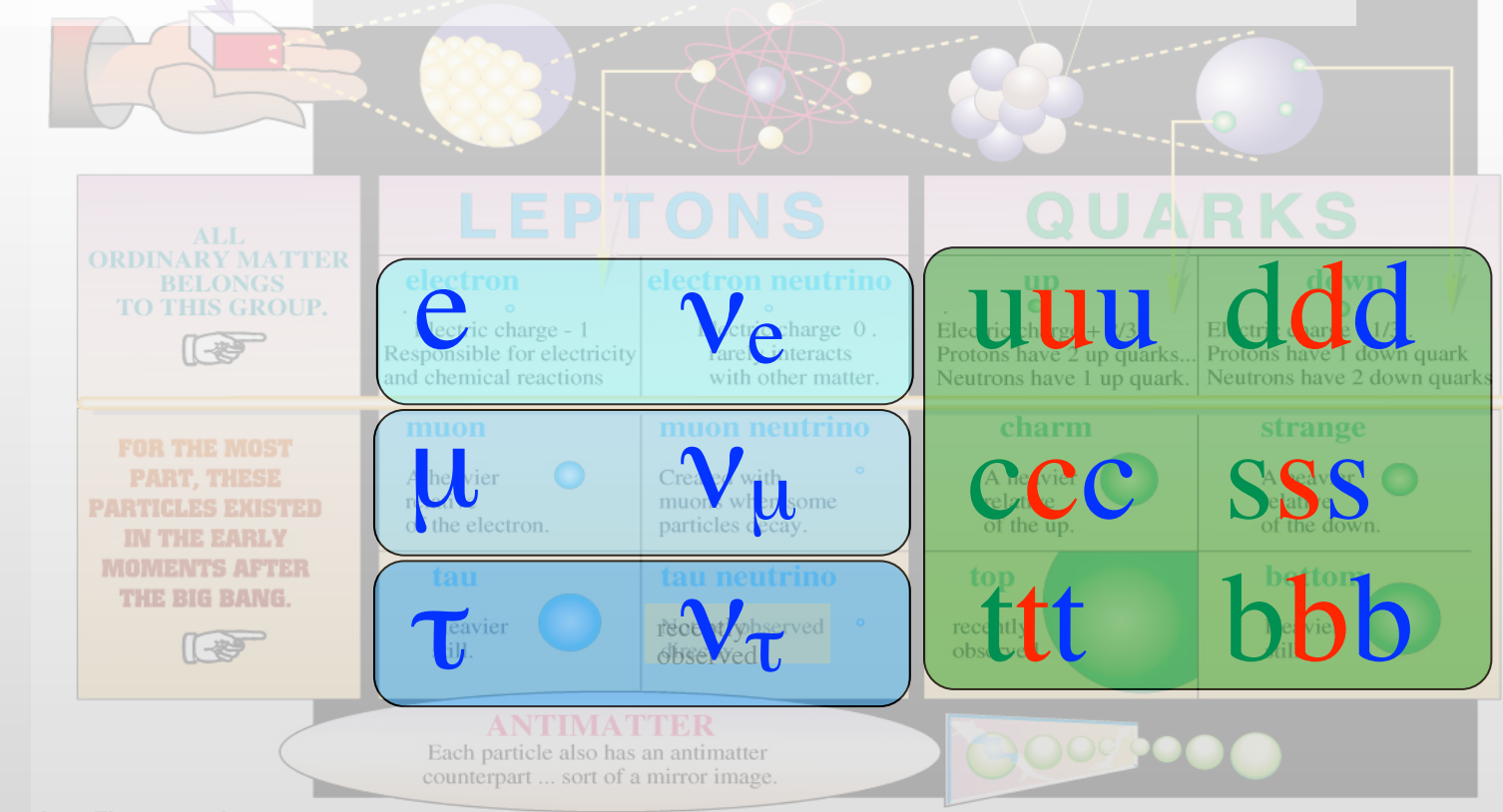
FORCES



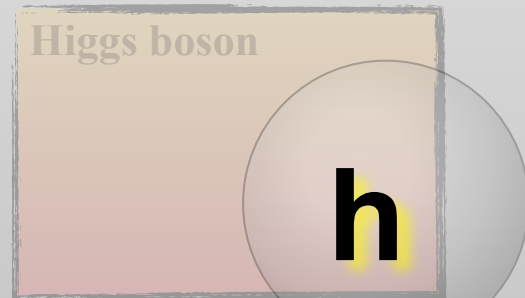


STANDARD MODEL

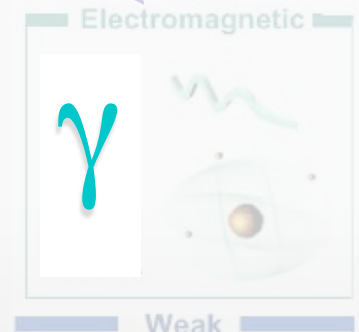
# Interazioni (& simmetrie)

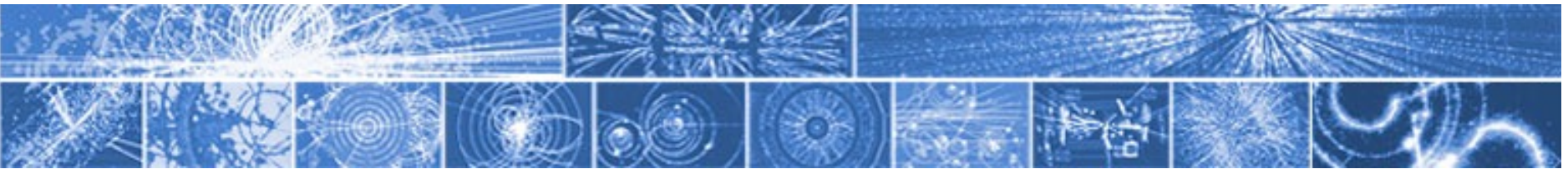


- $SU_c(3) \times SU_w(2) \times U_Y(1) \rightarrow SU_c(3) \times U_{\text{em}}(1)$
- colore e carica elettrica
- sapore barionico totale
- sapore leptonico individuale (ma: oscillazioni  $\nu$ )



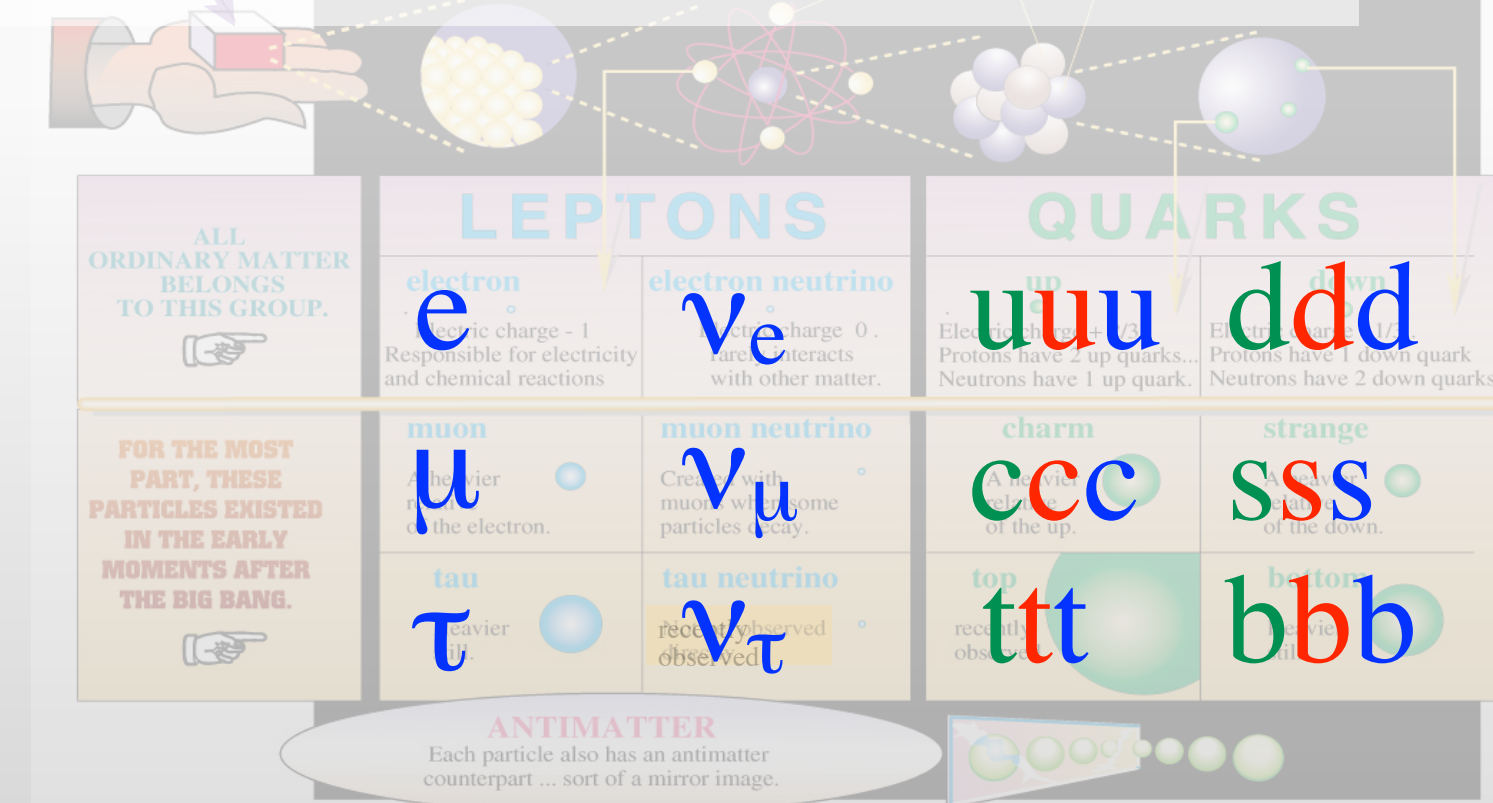
FORCES





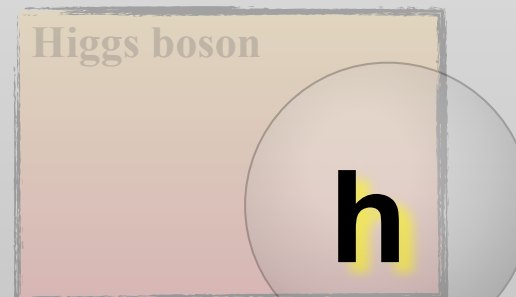
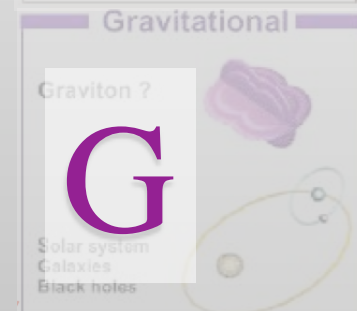
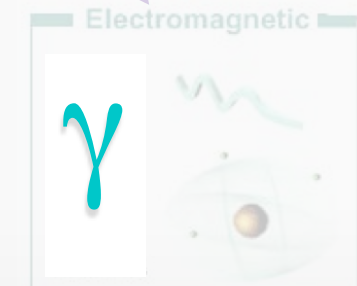
STANDARD MODEL

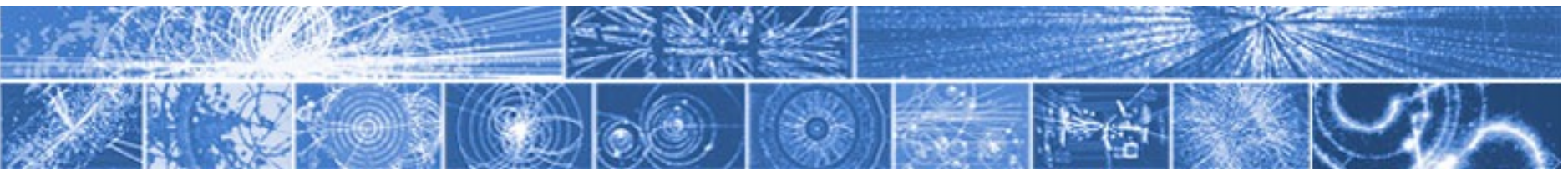
# Interazioni (& simmetrie)



Adroni: stati composti di quarks

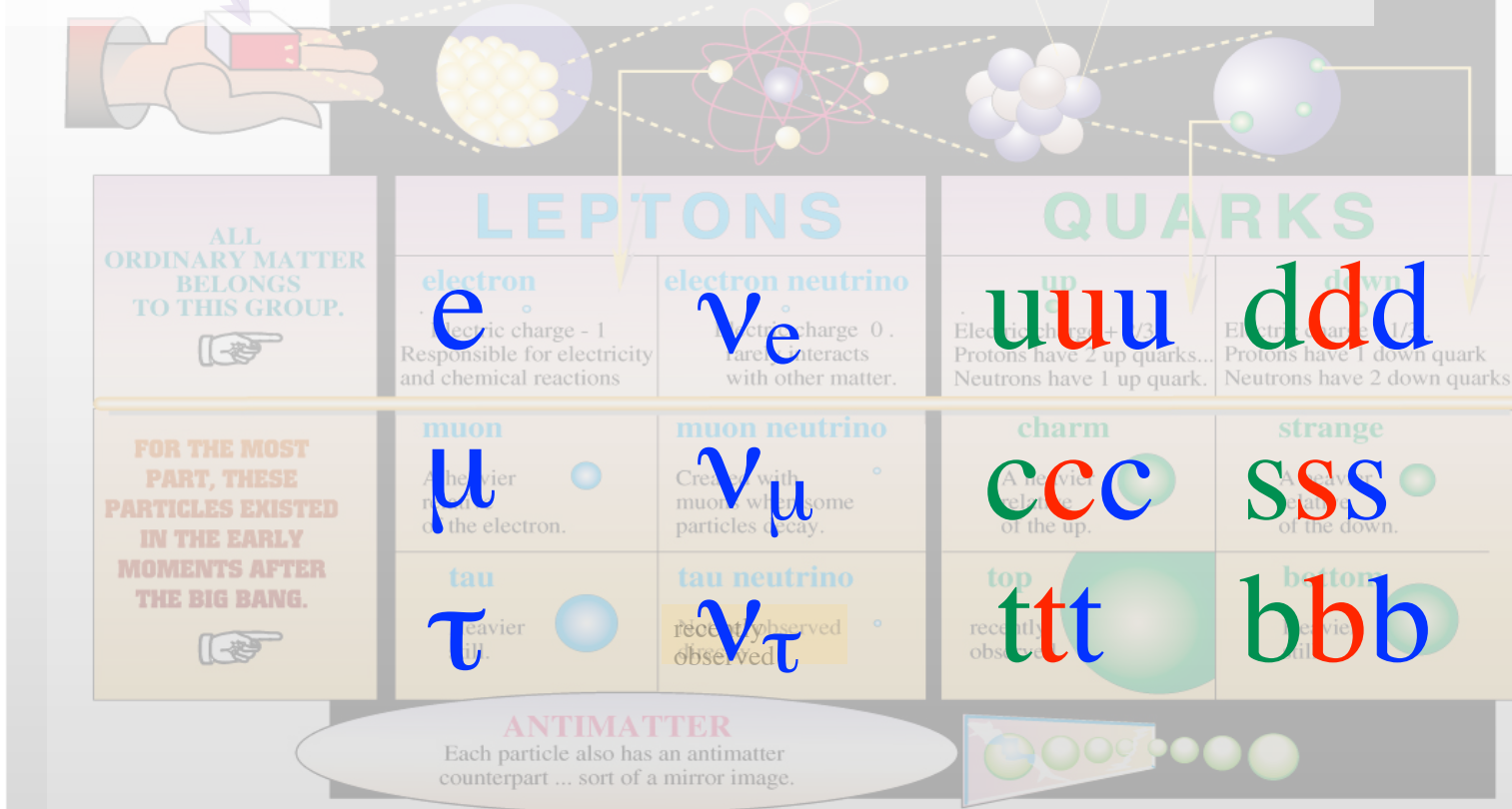
FORCES



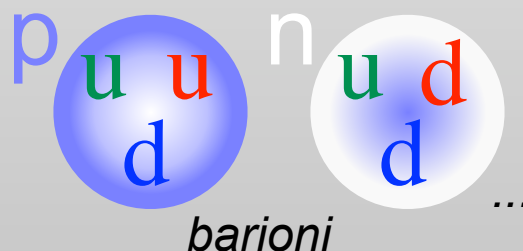


STANDARD MODEL

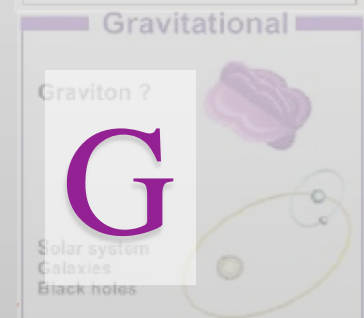
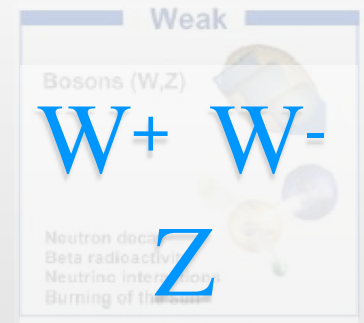
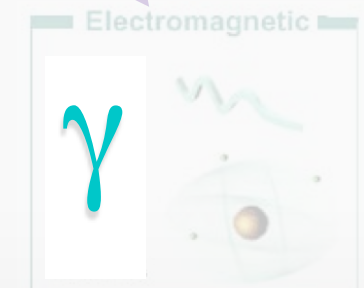
# Interazioni (& simmetrie)

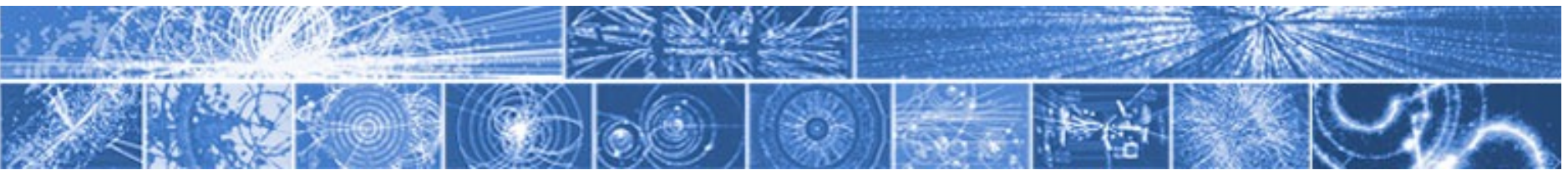


Adroni: stati composti di quarks



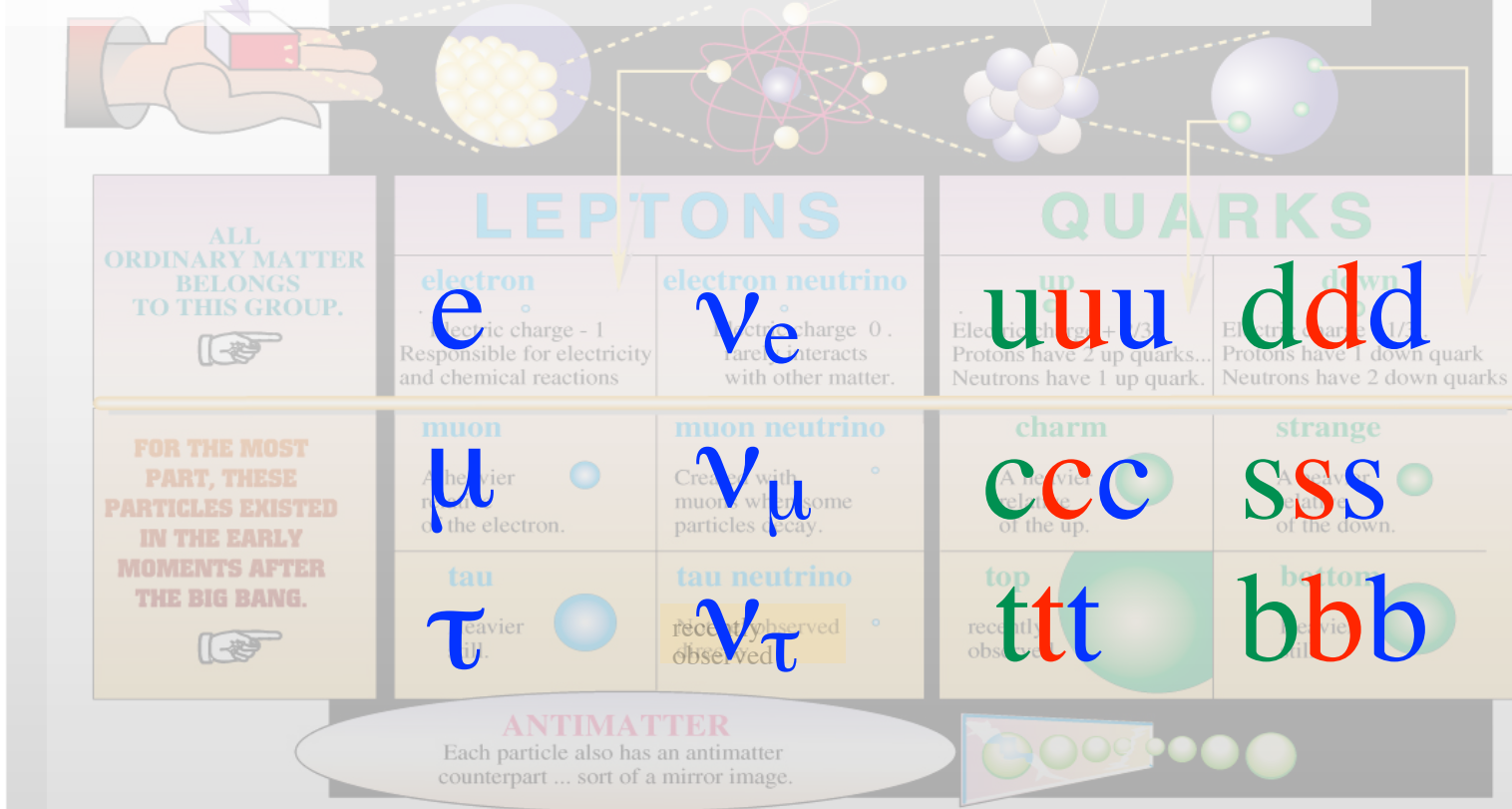
FORCES





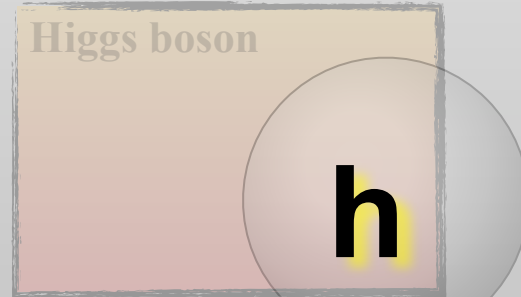
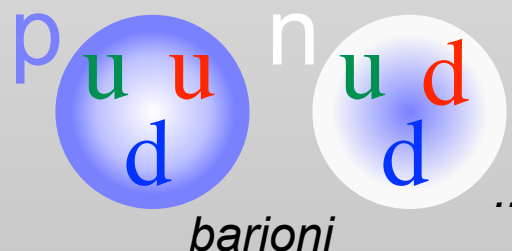
STANDARD MODEL

# Interazioni (& simmetrie)

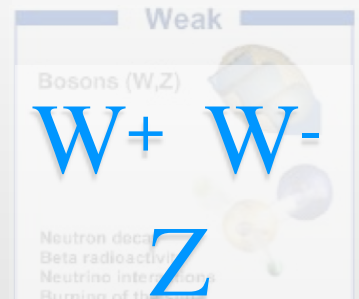
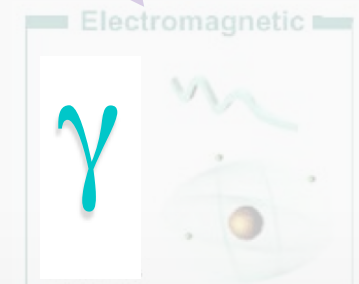


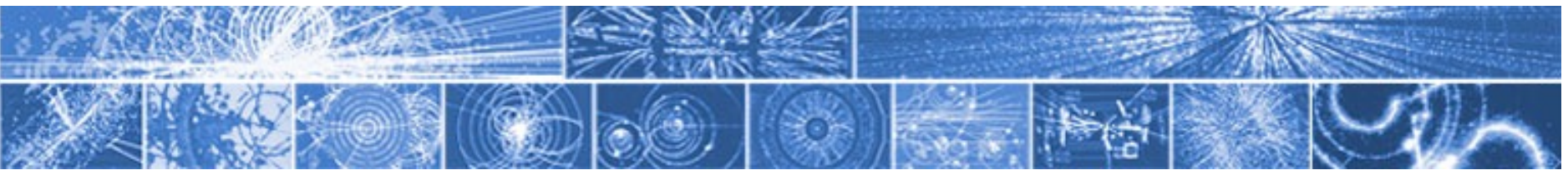
from Time magazine

**Adroni: stati composti di quarks**



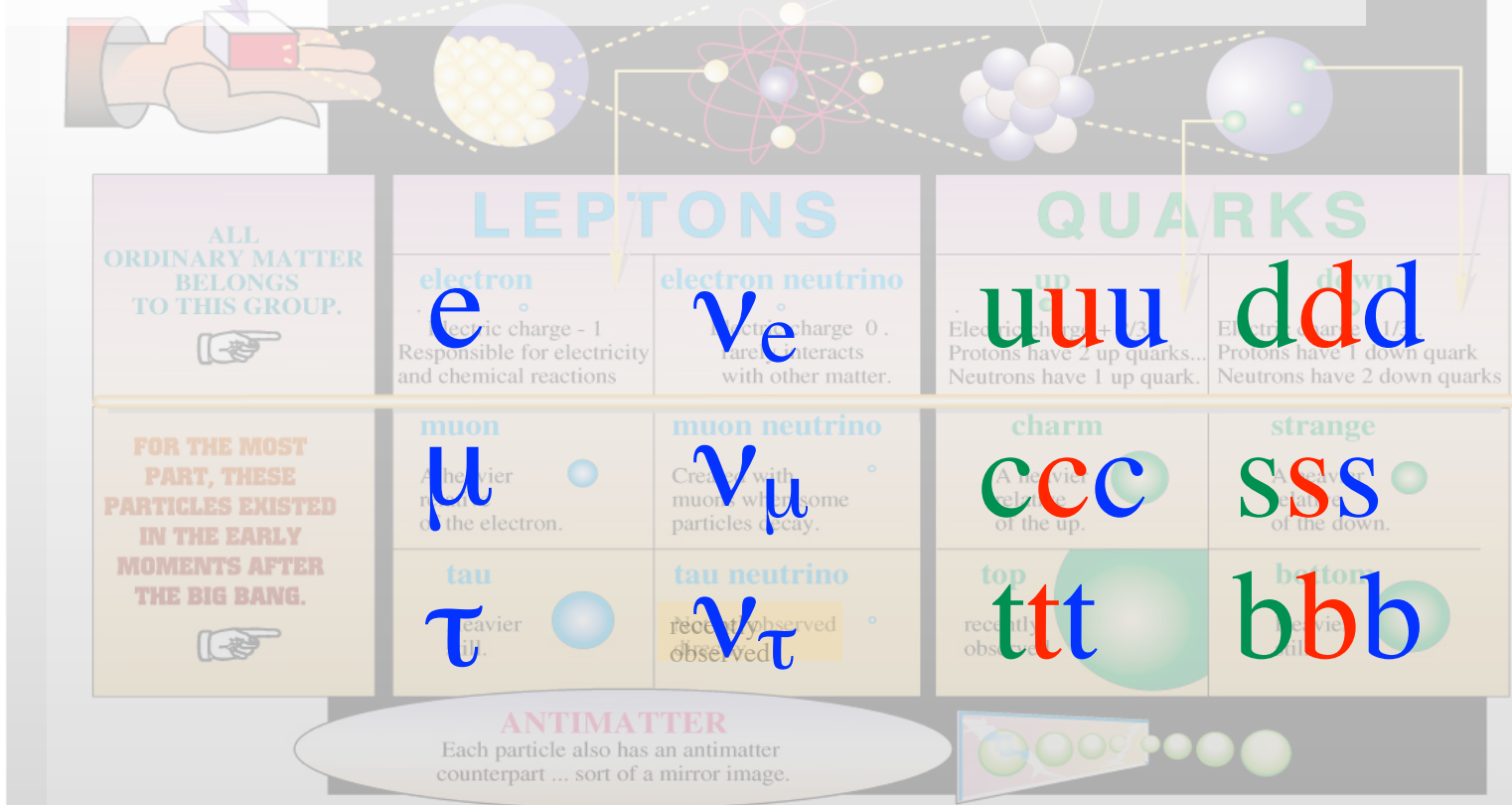
FORCES





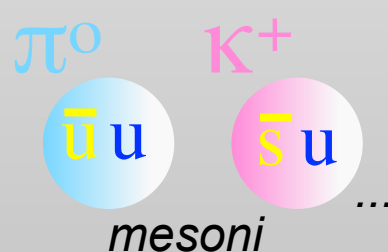
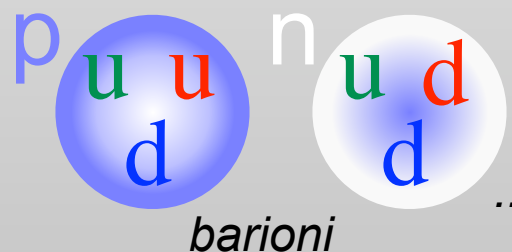
STANDARD MODEL

# Interazioni (& simmetrie)

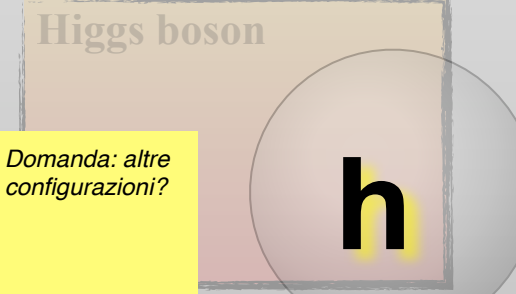


from Time magazine

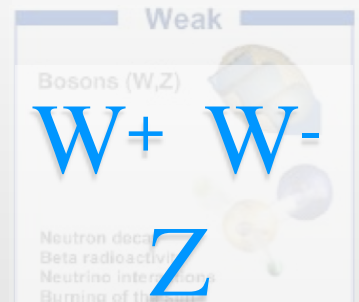
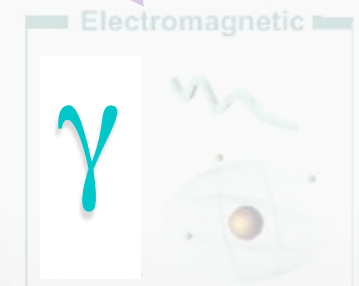
## Adroni: stati composti di quarks

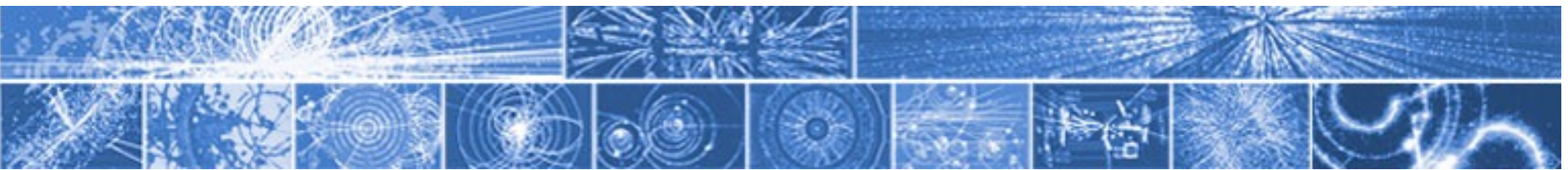


Domanda: altre configurazioni?



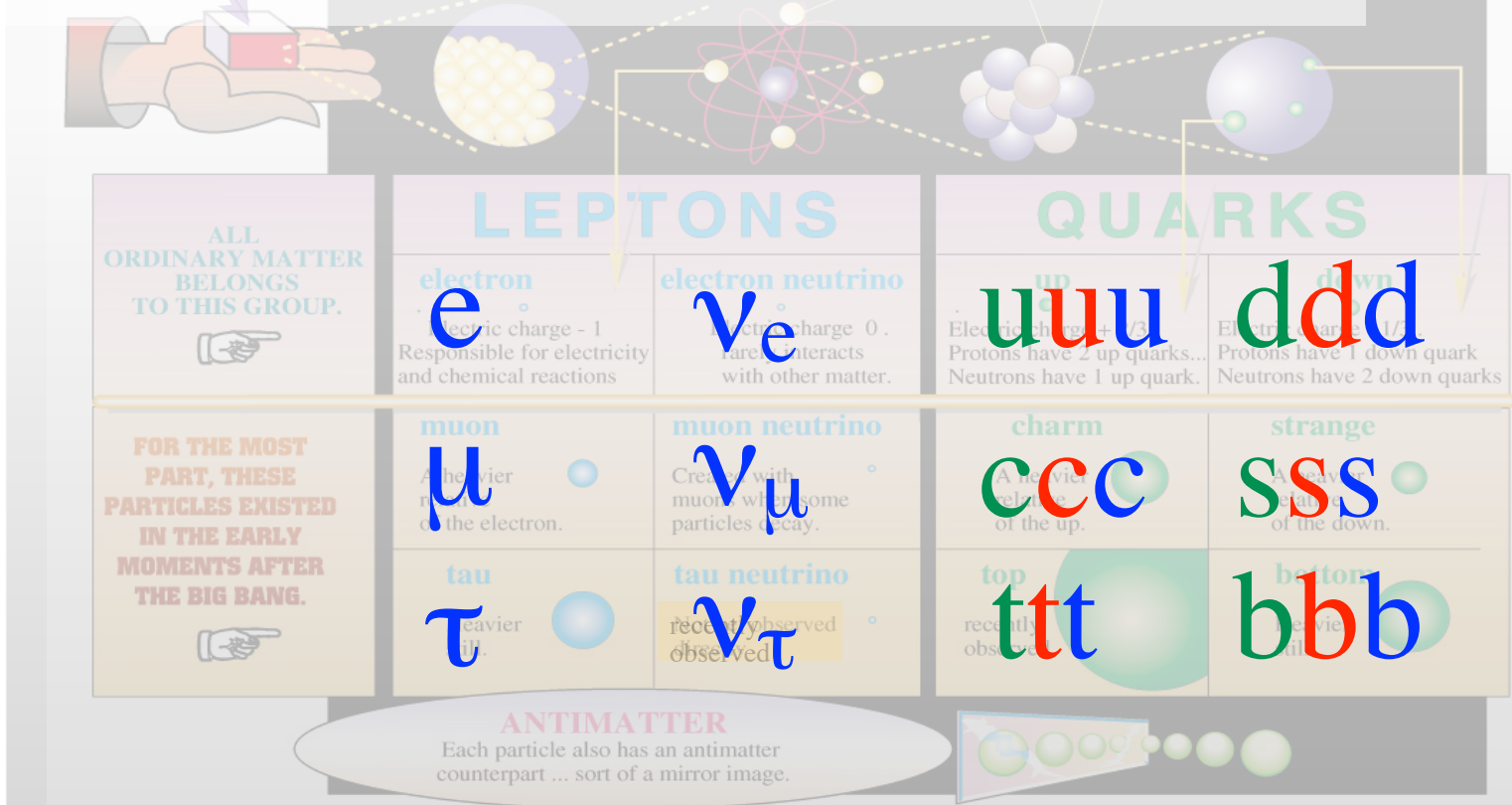
FORCES





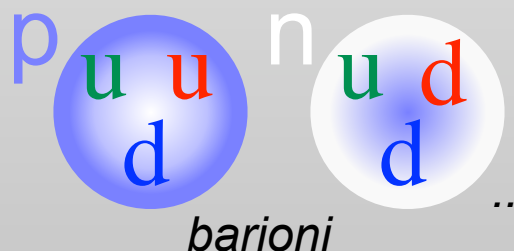
STANDARD MODEL

# Interazioni (& simmetrie)

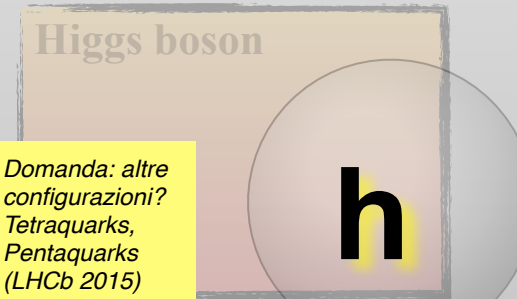


from Time magazine

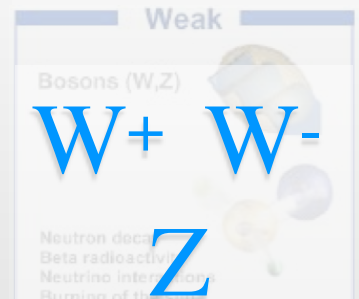
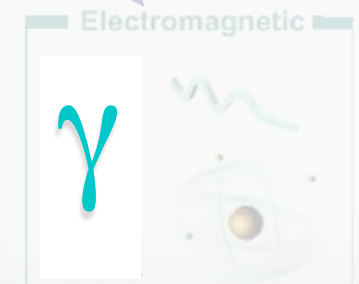
## Adroni: stati composti di quarks

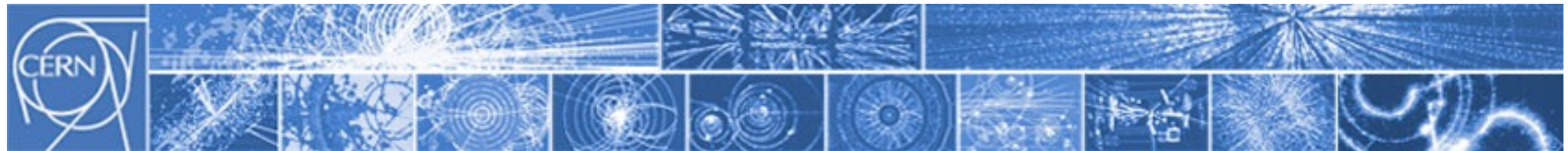


Domanda: altre configurazioni?  
Tetraquarks,  
Pentaquarks  
(LHCb 2015)

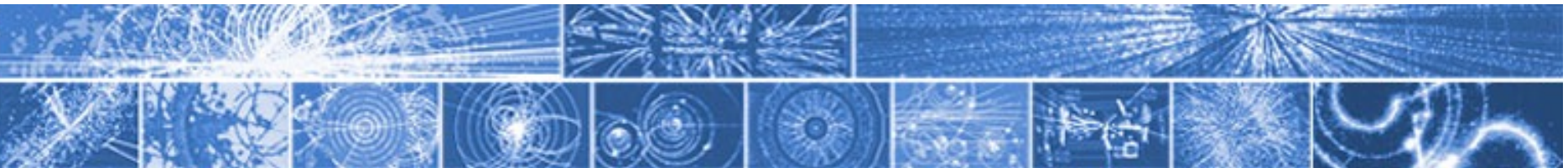


FORCES





# Mass



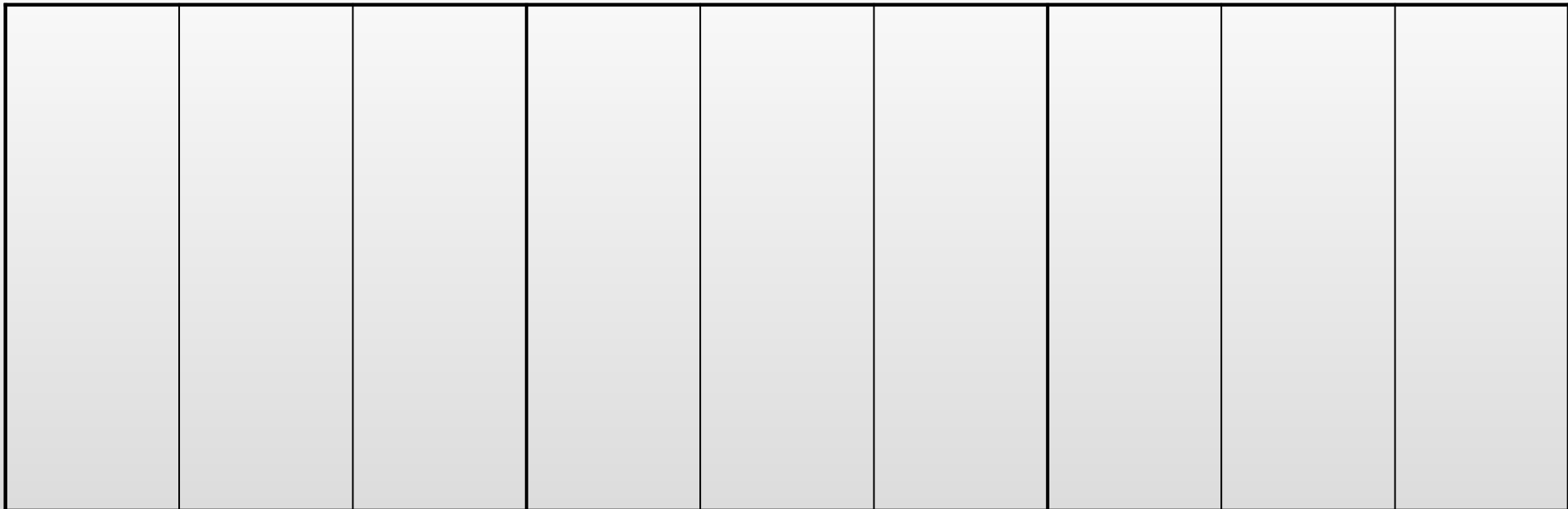
# Mass

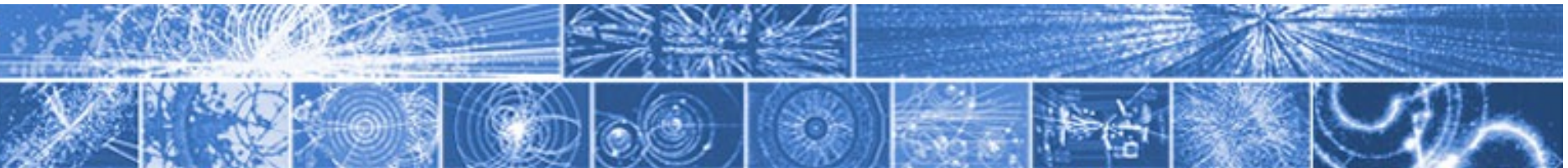
KeV

MeV

GeV

TeV





# Mass

KeV

MeV

GeV

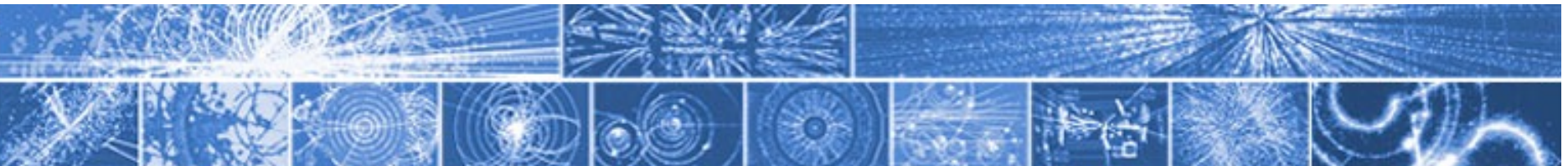
TeV

		e			$\mu$	$\tau$		
--	--	---	--	--	-------	--------	--	--

e 511 KeV

$\mu$  105.7 MeV

$\tau$  1.777 GeV



# Mass

KeV

MeV

GeV

TeV

		e	u d		$\mu$	s	$\tau$	c b	t
--	--	---	--------	--	-------	---	--------	--------	---

e 511 KeV

$\mu$  105.7 MeV

$\tau$  1.777 GeV

u ~2.3 MeV

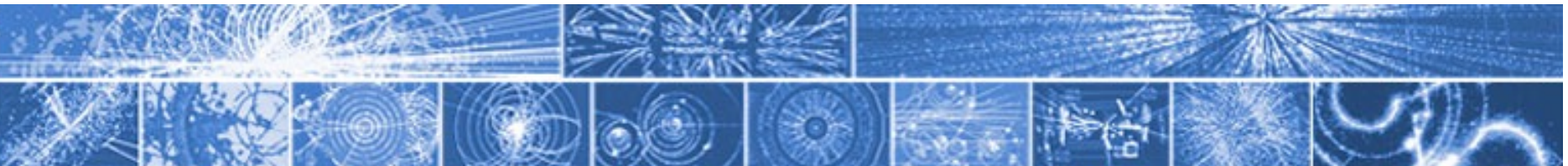
d ~5 MeV

s ~95 MeV

c 1.27 GeV

b 4.2 GeV

t 173.2 GeV



# Mass

KeV

MeV

GeV

TeV

		e	u d		$\mu$ s		$\tau$ c b		t  W Z
--	--	---	--------	--	------------	--	---------------	--	-----------------

e 511 KeV

$\mu$  105.7 MeV

$\tau$  1.777 GeV

u ~2.3 MeV

d ~5 MeV

s ~95 MeV

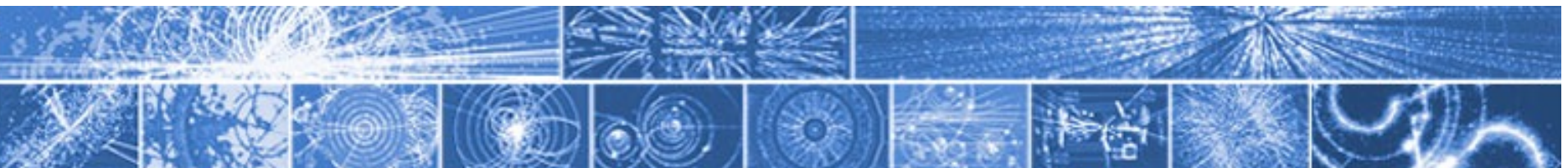
c 1.27 GeV

b 4.2 GeV

t 173.2 GeV

$W^\pm$  80.385 GeV

Z 91.1876 GeV



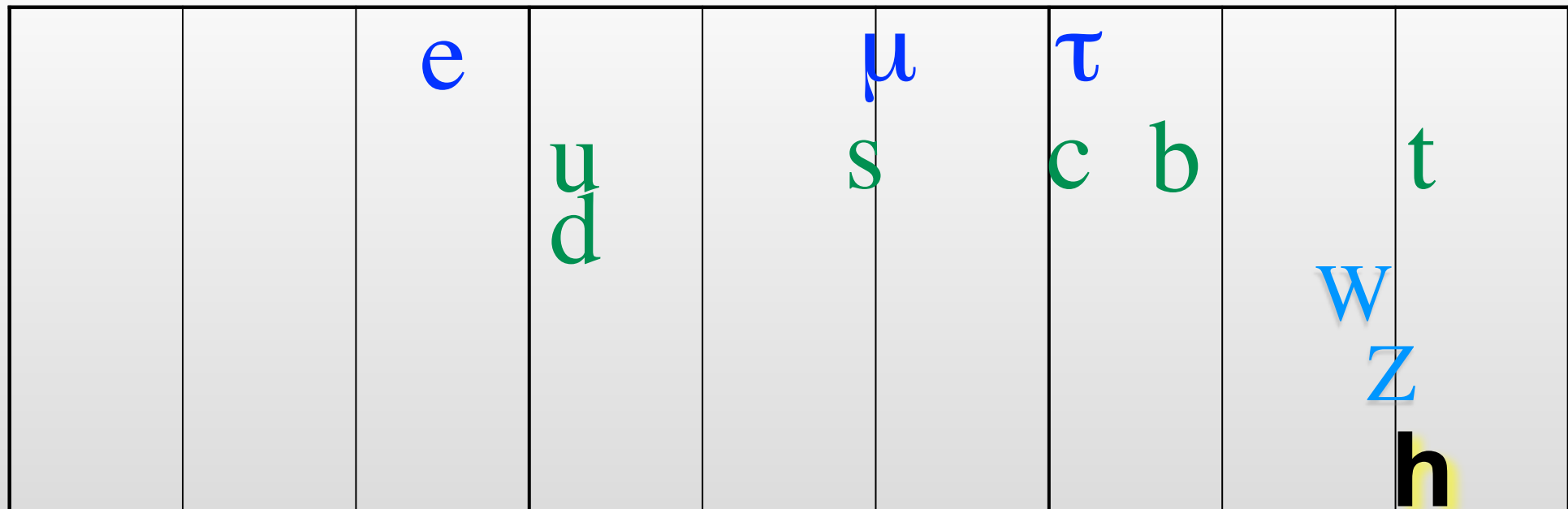
# Mass

KeV

MeV

GeV

TeV



e 511 KeV

μ 105.7 MeV

τ 1.777 GeV

u ~2.3 MeV

d ~5 MeV

s ~95 MeV

c 1.27 GeV

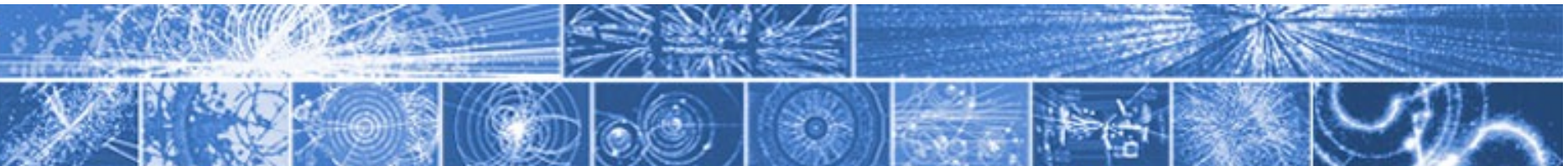
b 4.2 GeV

t 173.2 GeV

W<sup>±</sup> 80.385 GeV

Z 91.1876 GeV

h 125.09 GeV



# Mass

meV	eV	KeV	MeV	GeV	TeV
$\nu$	$\nu$		e u d	$\mu$ s c b	$\tau$ t W Z h

e 511 KeV

$\mu$  105.7 MeV

$\tau$  1.777 GeV

$9 \cdot 10^{-3} \text{ eV} \leq \nu_i \leq 0.2 \text{ eV}$

u ~2.3 MeV

d ~5 MeV

s ~95 MeV

c 1.27 GeV

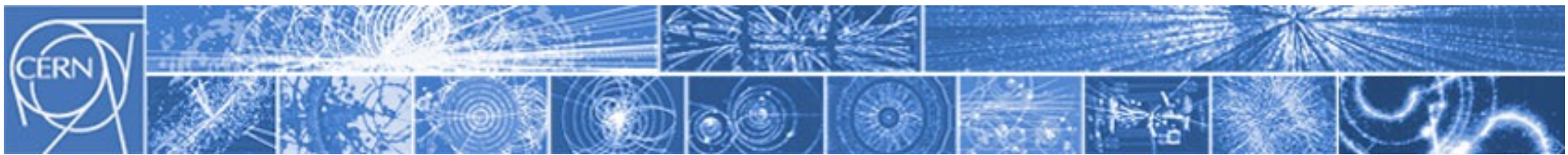
b 4.2 GeV

t 173.2 GeV

$W^\pm$  80.385 GeV

Z 91.1876 GeV

h 125.09 GeV

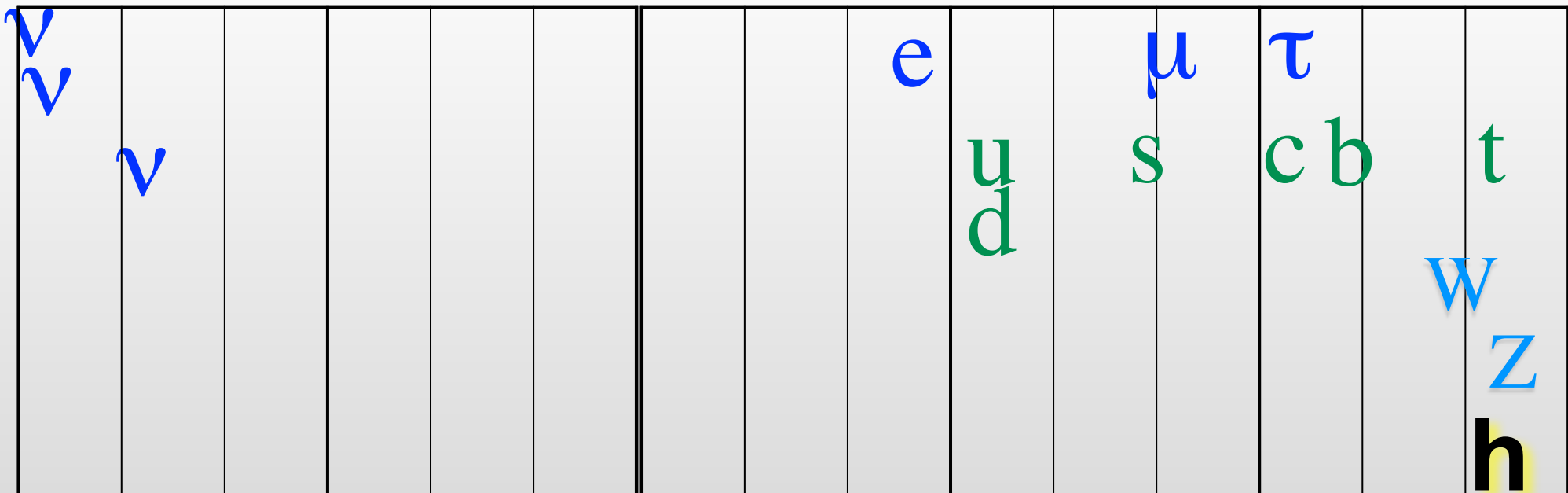


# Mass

massa zero:  $\gamma$   $g$   $G$

$p$   
 $^{238}U$

meV eV KeV MeV GeV TeV



$e$  511 KeV

$\mu$  105.7 MeV

$\tau$  1.777 GeV

$9 \cdot 10^{-3} \text{ eV} \leq \nu_i \leq 0.2 \text{ eV}$

$u$  ~2.3 MeV

$d$  ~5 MeV

$s$  ~95 MeV

$c$  1.27 GeV

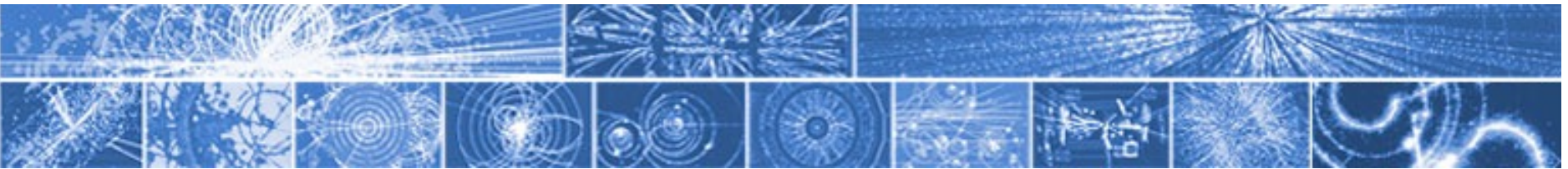
$b$  4.2 GeV

$t$  173.2 GeV

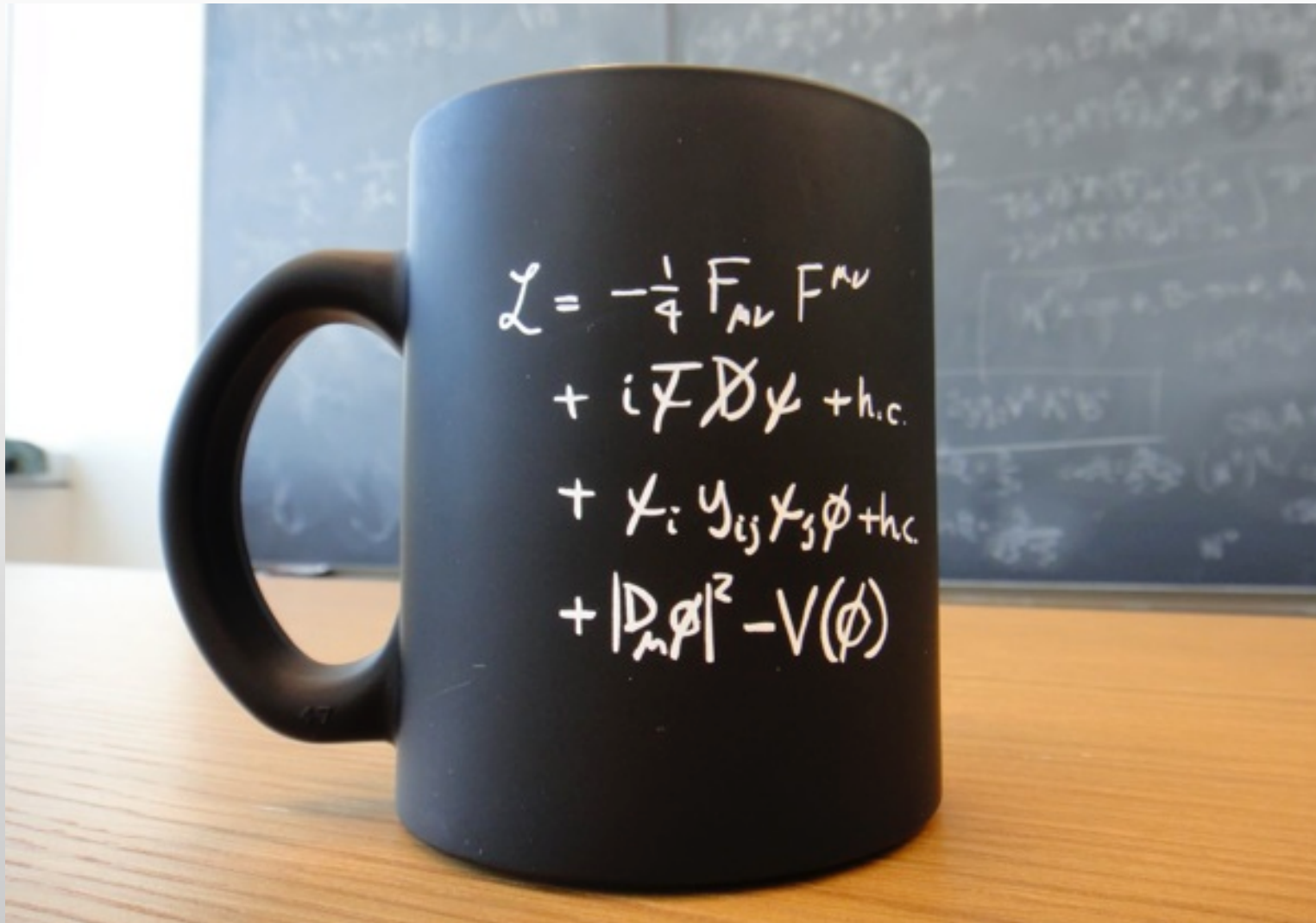
$W^\pm$  80.385 GeV

$Z$  91.1876 GeV

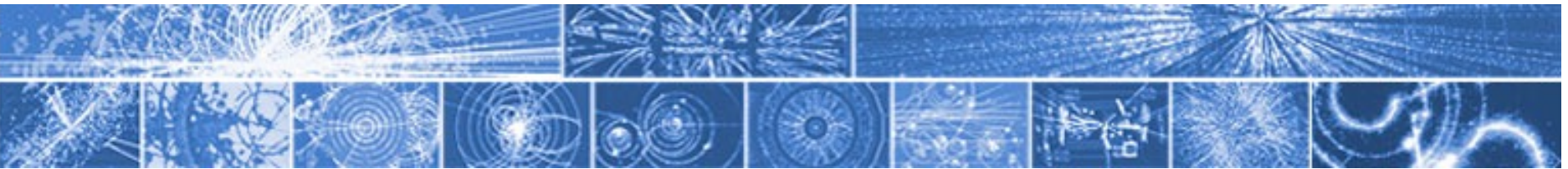
$h$  125.7 GeV



# Lagrangiana del Modello Standard



Credit: Flip Tanedo, QuantumDiaries.org



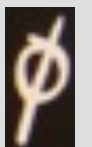
# Lagrangiana del Modello Standard

mediatori delle forze

$$F_{\mu\nu} \rightarrow \gamma \ W \ Z \ g$$
$$\mathcal{D} \rightarrow$$

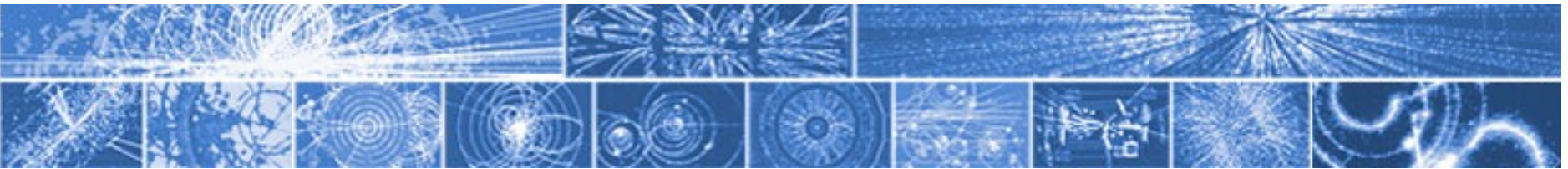
campi di materia

$$\psi \rightarrow e \mu \tau \nu_i$$
$$u d s c b t$$



campo scalare  
(-> di higgs)

$$\mathcal{L} = -\frac{1}{4} F_{\mu\nu} F^{\mu\nu} + i \bar{\psi} \mathcal{D} \psi + h.c. + Y_i Y_{ij} Y_j \phi + h.c. + |\mathcal{D}_\mu \phi|^2 - V(\phi)$$



# Lagrangiana del Modello Standard

mediatori delle forze

$$F_{\mu\nu} \rightarrow \gamma \text{ W Z g}$$
$$\mathcal{D} \rightarrow$$

campi di materia

$$\psi \rightarrow e \mu \tau \nu_i$$
$$u d s c b t$$

$\phi$  campo scalare  
(-> di higgs)

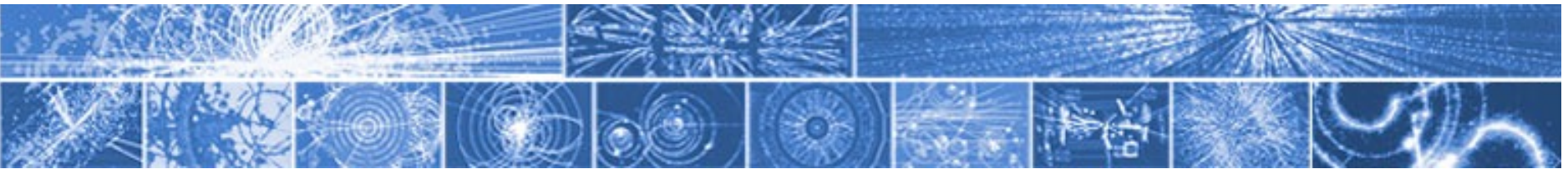
propagazione  
delle forze

interazione  
forze-materia

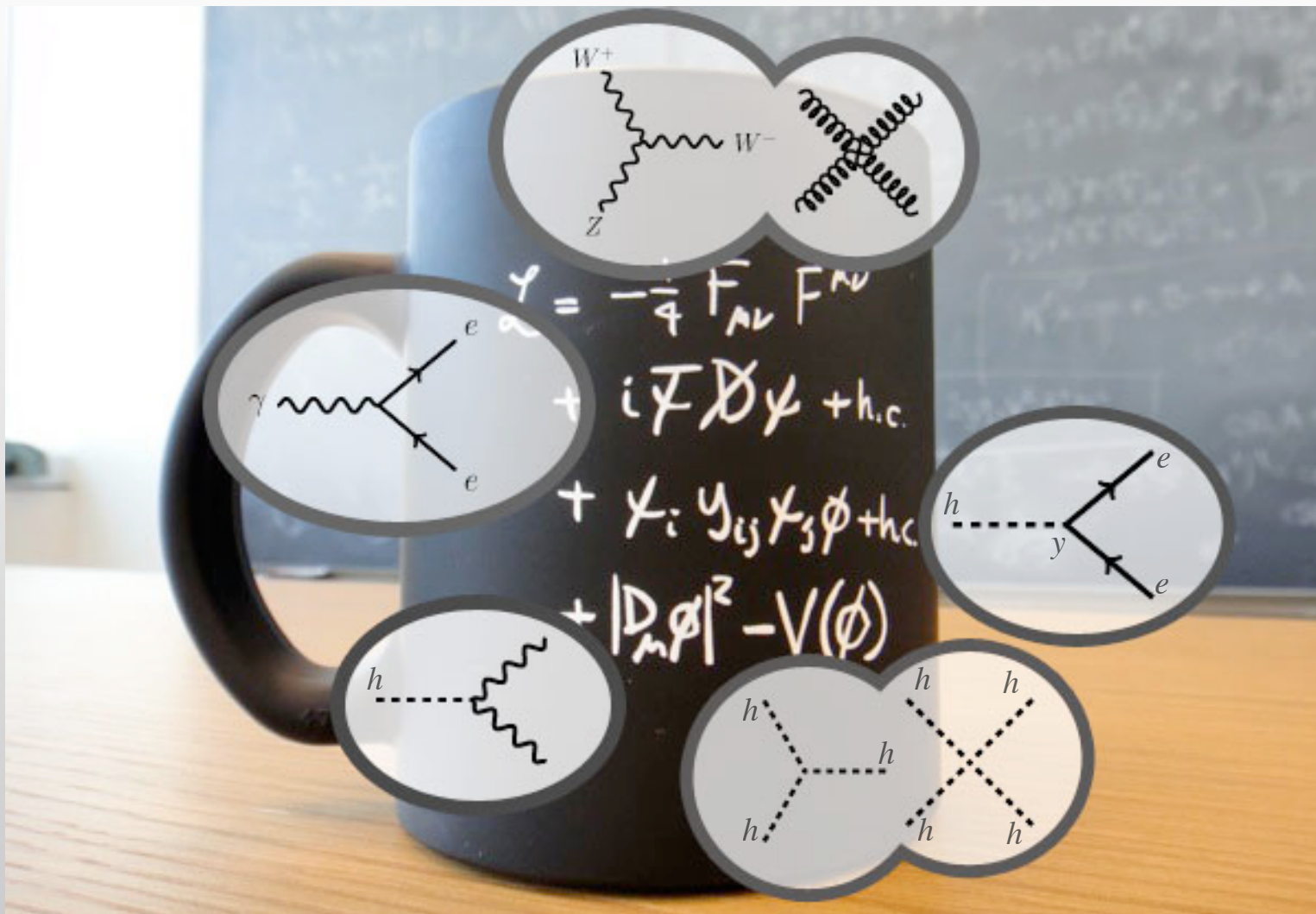
interazione  
higgs-materia

'settore  
di higgs'

$$\mathcal{L} = -\frac{1}{4} F_{\mu\nu} F^{\mu\nu} + i \bar{\psi} \mathcal{D} \psi + h.c. + \bar{\chi}_i Y_{ij} \chi_j \phi + h.c. + |\mathcal{D}_\mu \phi|^2 - V(\phi)$$



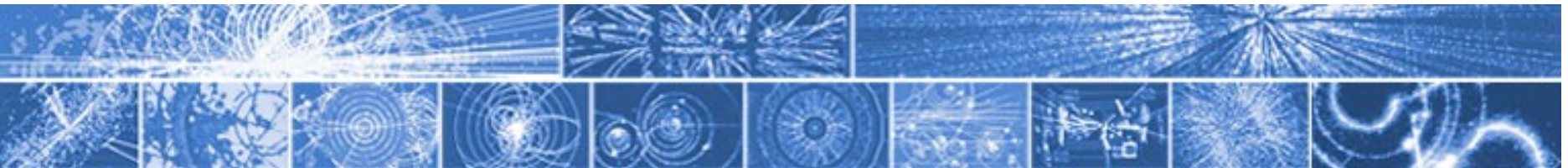
# Lagrangiana del Modello Standard



Credit: Flip Tanedo, QuantumDiaries.org

presentazione  
per insegnanti:

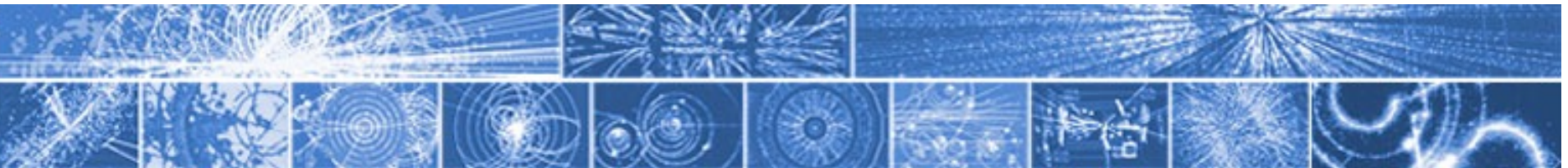
J. Woithe, J. Wiener, F. Van der Veken, *Let's have a coffee with the Standard Model of particle physics!*, Phys. Educ. 52 (2017) 034001



# I diagrammi di Feynman al lavoro

## *Esempio 1: collisione $e^+e^-$*

(semirigoroso)



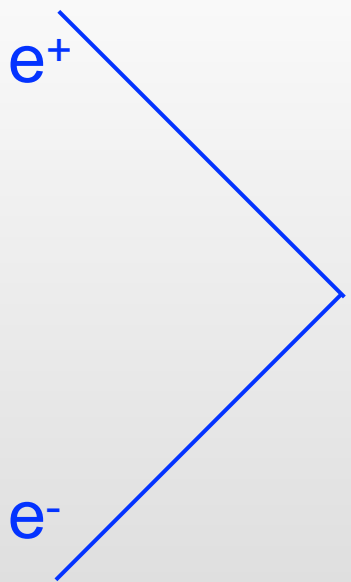
# I diagrammi di Feynman al lavoro

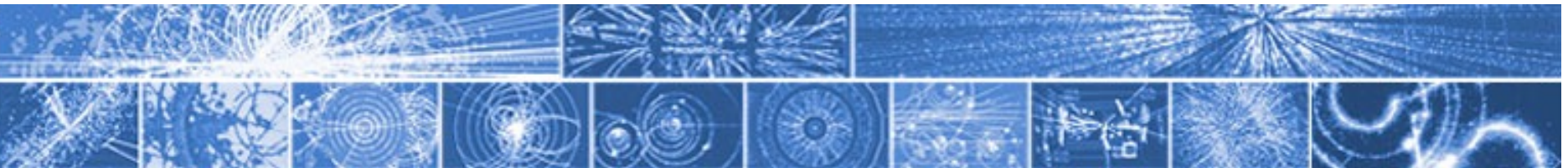
## Esempio 1: collisione $e^+e^-$

(semirigoroso)

**LEP**

105 GeV

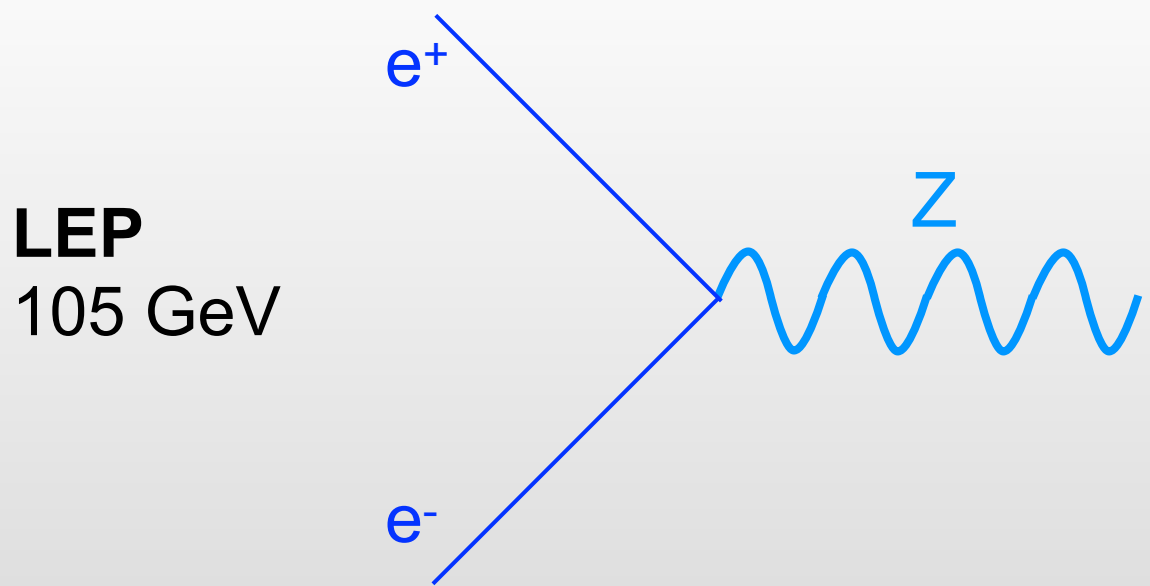


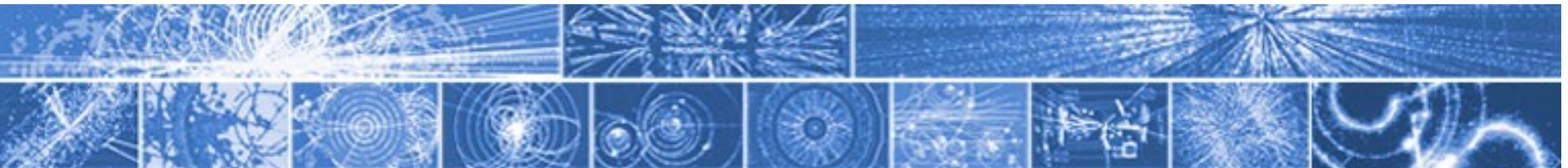


# I diagrammi di Feynman al lavoro

## Esempio 1: collisione $e^+e^-$

(semirigoroso)

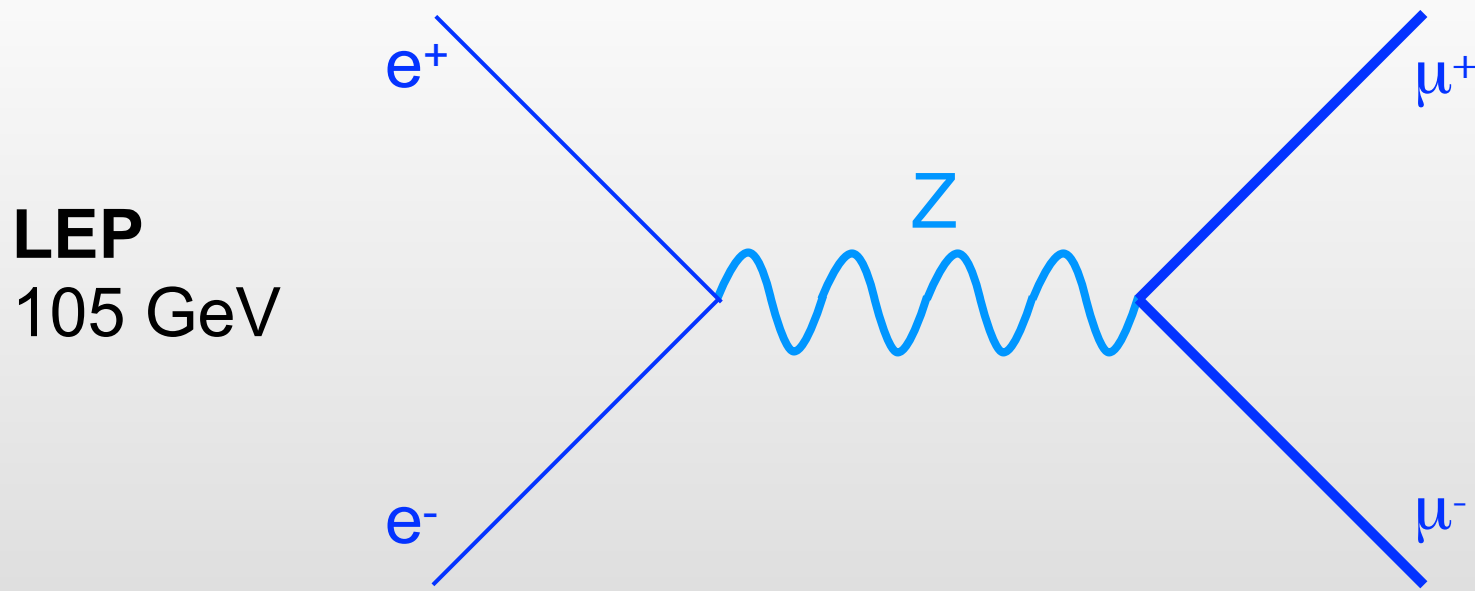


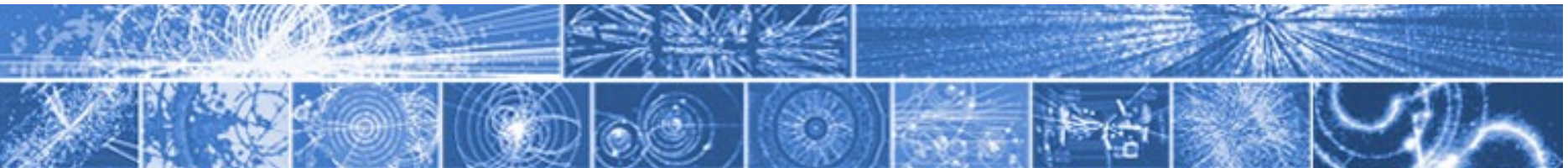


# I diagrammi di Feynman al lavoro

## Esempio 1: collisione $e^+e^-$

(semirigoroso)

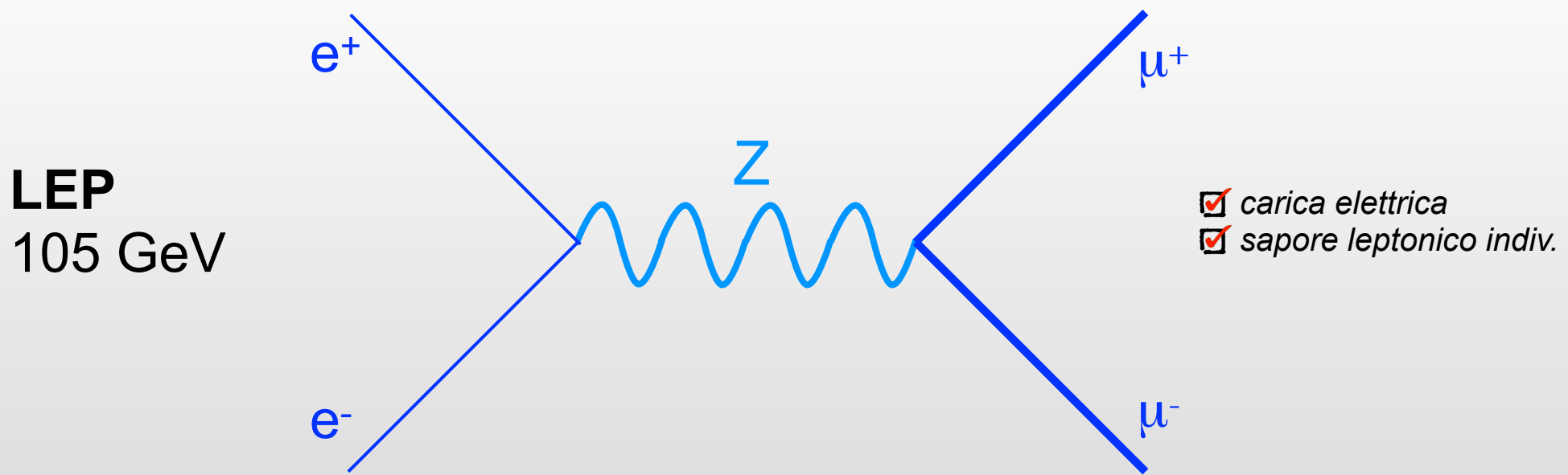




# I diagrammi di Feynman al lavoro

## Esempio 1: collisione $e^+e^-$

(semirigoroso)

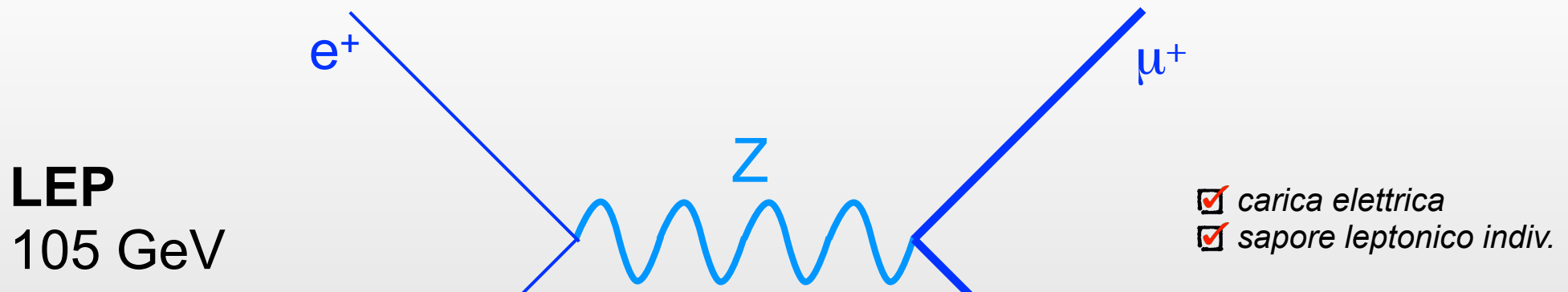




# I diagrammi di Feynman al lavoro

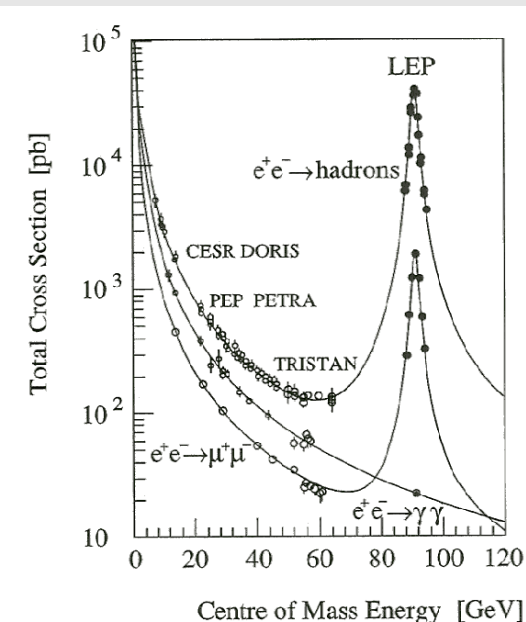
## Esempio 1: collisione $e^+e^-$

(semirigoroso)

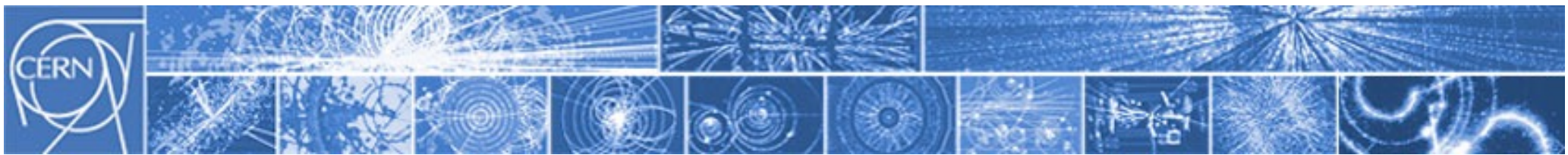


La risonanza tradisce la produzione del mediatore.

Magari scopriremo così un nuovo mediatore.

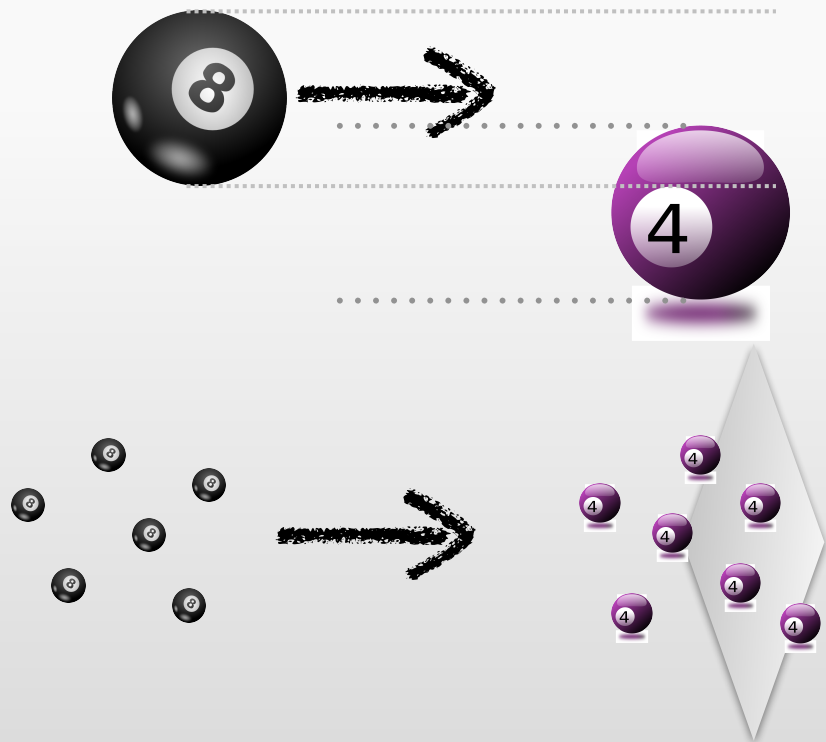


Domande per i più motivati:  
perché la sezione d'urto  $e^+e^- \rightarrow \text{hadrons}$  è più grande di quella  $e^+e^- \rightarrow \mu^+\mu^-$ ?  
sai calcolare a priori il rapporto?  
e perché quella  $e^+e^- \rightarrow \gamma\gamma$  si comporta diversamente?

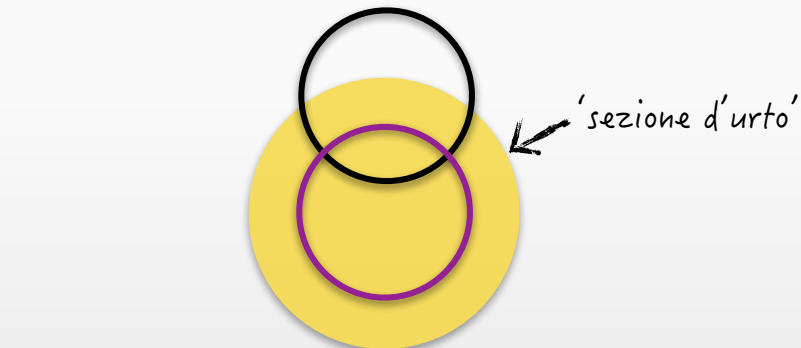
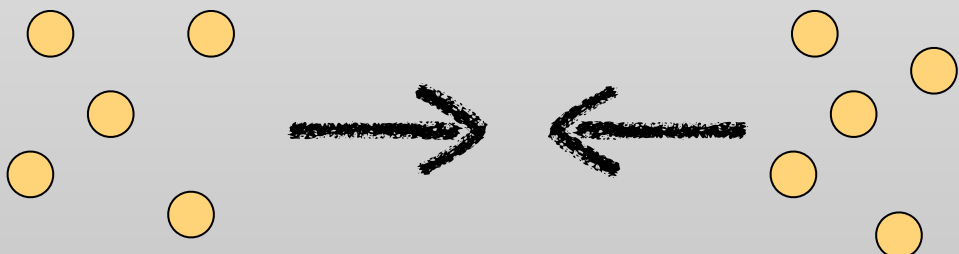


# (Parentesi: sezione d'urto:

'Particelle' classiche:



Particelle quantistiche:



$$N \text{ urti per sec} = \Phi_{\text{inc}} \times N_{\text{bers}} \times S$$

flusso incidente  
(particelle/s)

bersagli per area  
(particelle/cm<sup>2</sup>)

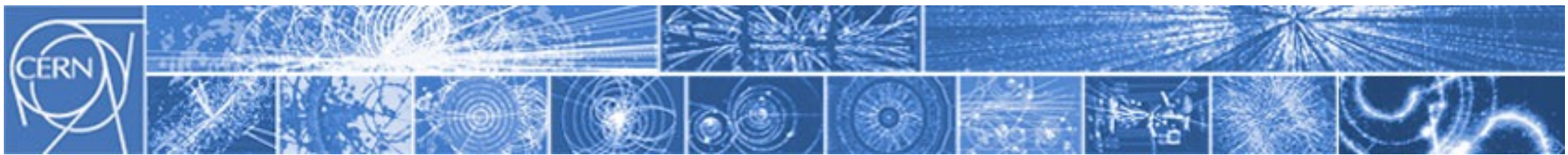
superficie  
effettiva  
1 bersaglio  
(cm<sup>2</sup>)

$$N \text{ eventi per sec} = \Phi_{\text{inc}} \times \rho_{\text{bers}} \times \sigma$$

sezione  
d'urto

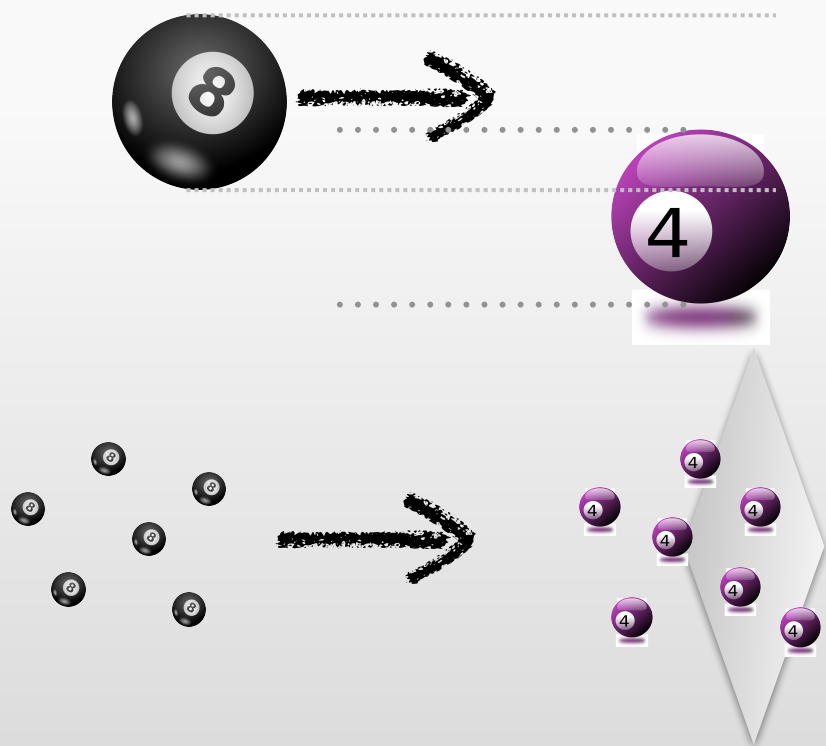
$$\sigma = \frac{N/\text{s}}{\Phi_{\text{inc}}} \times \frac{1}{\rho_{\text{bers}}} = \text{probab} \times \frac{1}{\rho_{\text{bers}}}$$

)

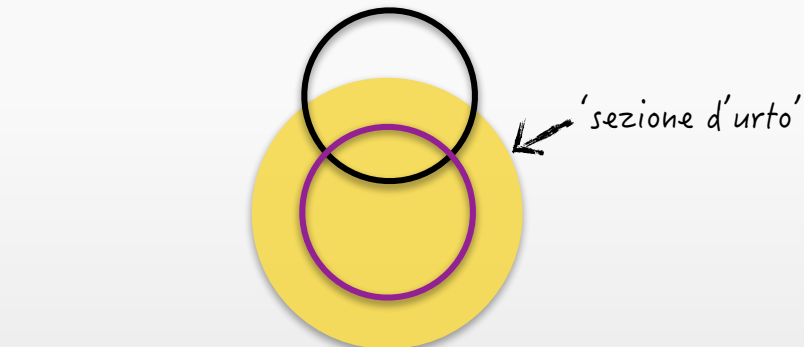
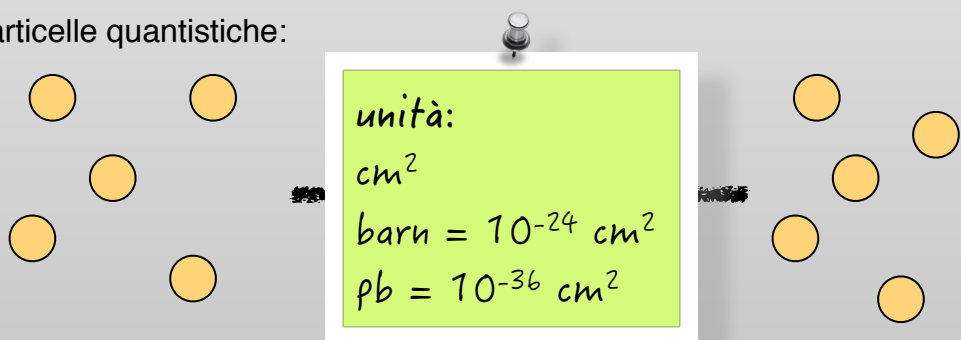


# (Parentesi: sezione d'urto:

'Particelle' classiche:



Particelle quantistiche:



$$N \text{ urti per sec} = \Phi_{\text{inc}} \times N_{\text{bers}} \times S$$

flusso incidente  
(particelle/s)

bersagli per area  
(particelle/cm²)

superficie  
effettiva  
1 bersaglio  
(cm²)

$$N \text{ eventi per sec} = \Phi_{\text{inc}} \times \rho_{\text{bers}} \times \sigma$$

sezione  
d'urto

$$\sigma = \frac{N/\text{s}}{\Phi_{\text{inc}}} \times \frac{1}{\rho_{\text{bers}}} = \text{probab} \times \frac{1}{\rho_{\text{bers}}}$$